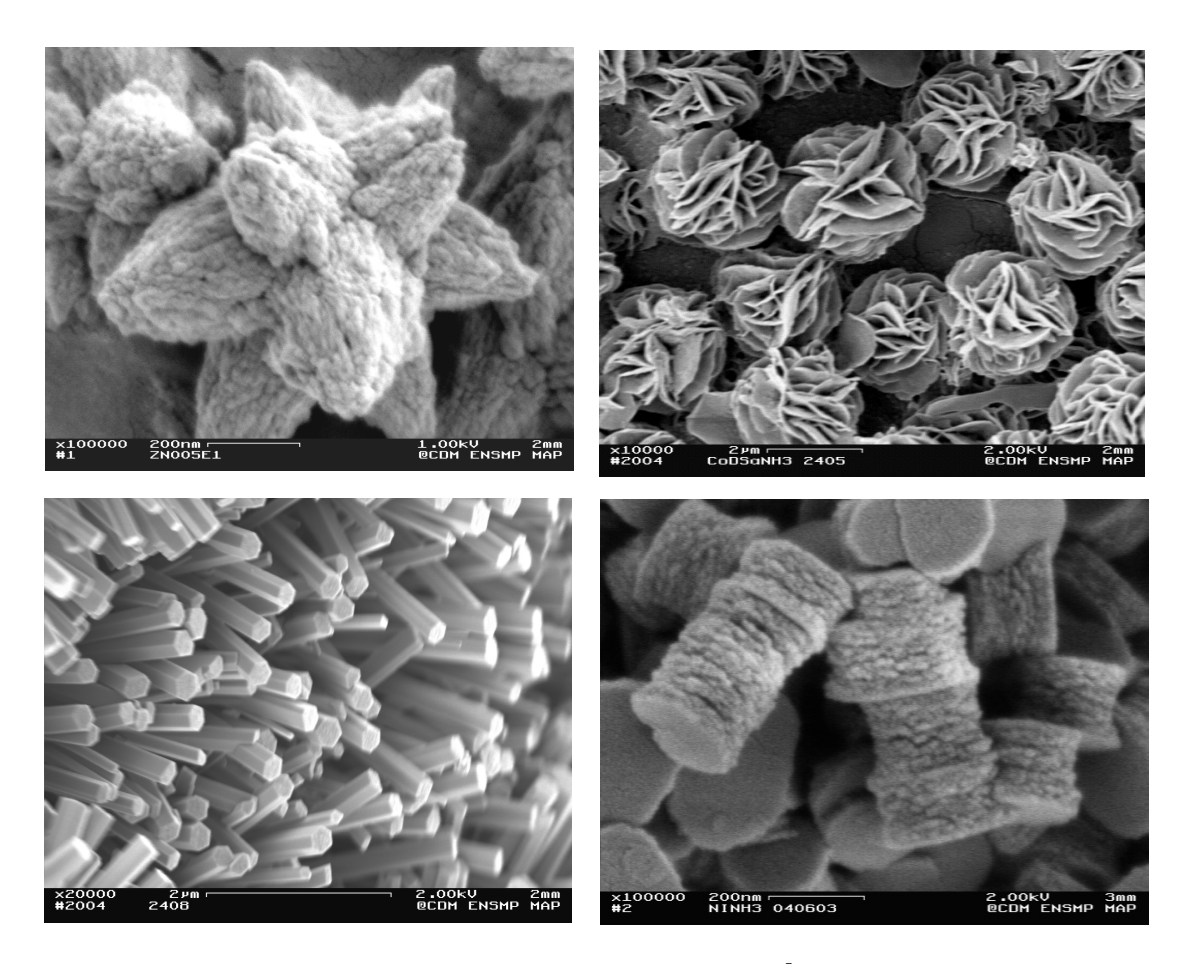
### Précipitation d'hydroxydes et d'oxydes métalliques en solution aqueuse contrôle de la taille et de la forme des particules

MINES -ParisTech



Jean-François Hochepied – séminaire LRS 16/01/17



### contenu de l'exposé

- 1) Présentation générale
- 2) Principales approches de la précipitation
- précipitation homogène
- double jet à pH contrôlé
- cristallisation d'amorphe
- 3) Perspectives/conclusion

### Groupe Systèmes Colloïdaux dans les Procédés **Industriels**



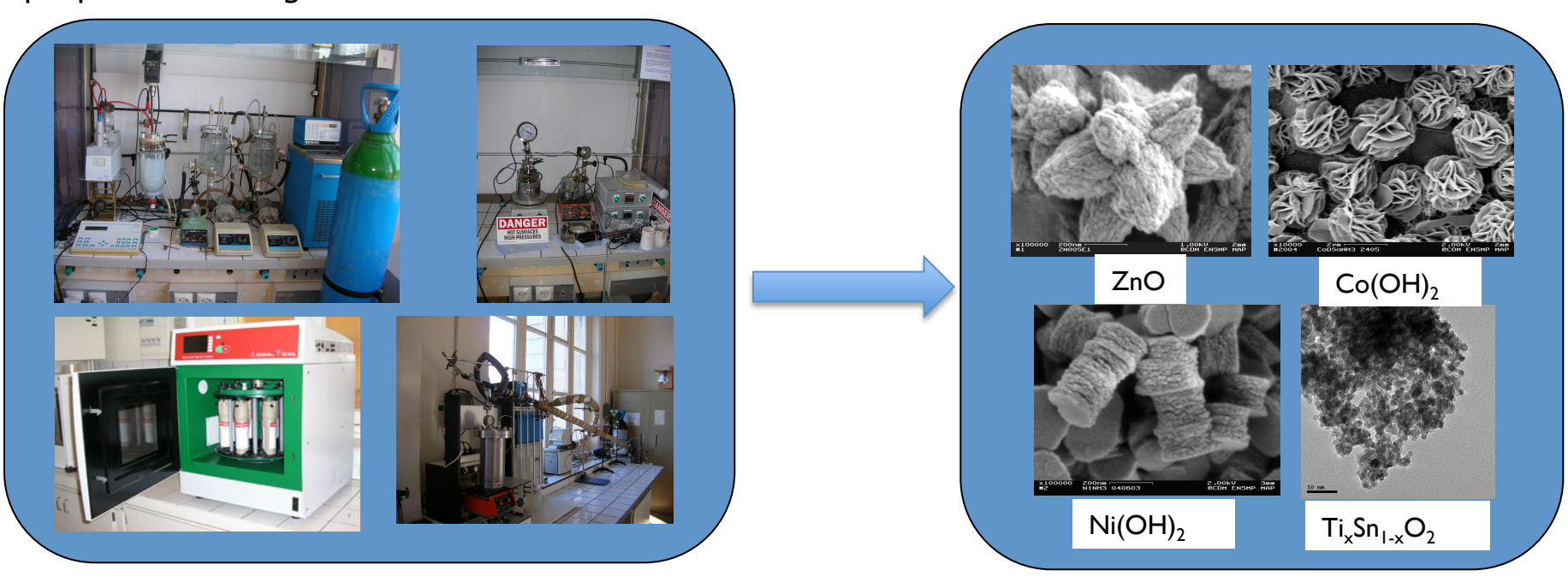
MINES ParisTech

Procédés



Thématique principale: Synthèse de particules submicroniques, nanoparticules et matériaux nanostructurés par **précipitation** en solution aqueuse.

Objectifs: contrôle taille, morphologie, composition, structure pour modifier/optimiser propriétés d'usage.

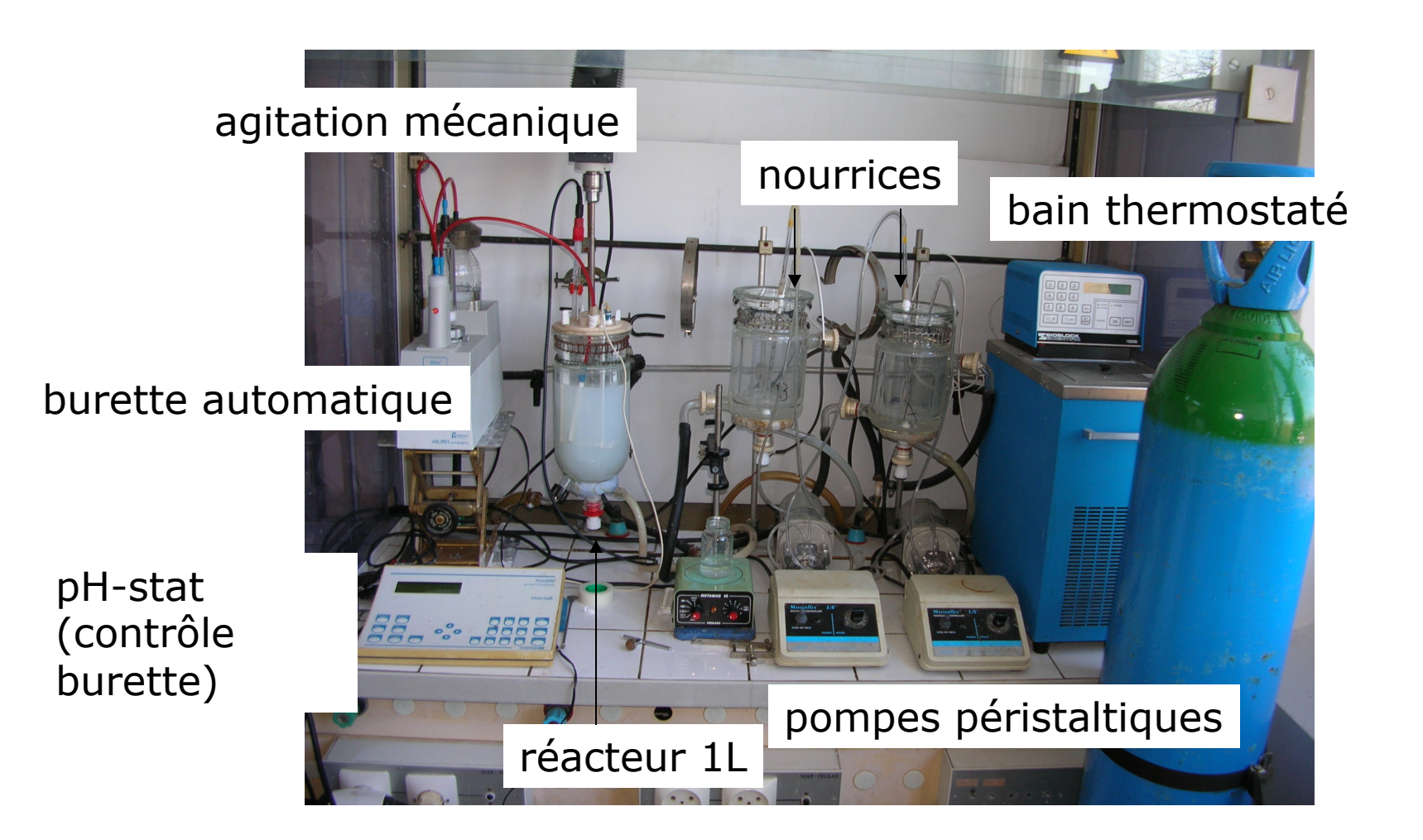




# Équipements pour la synthèse

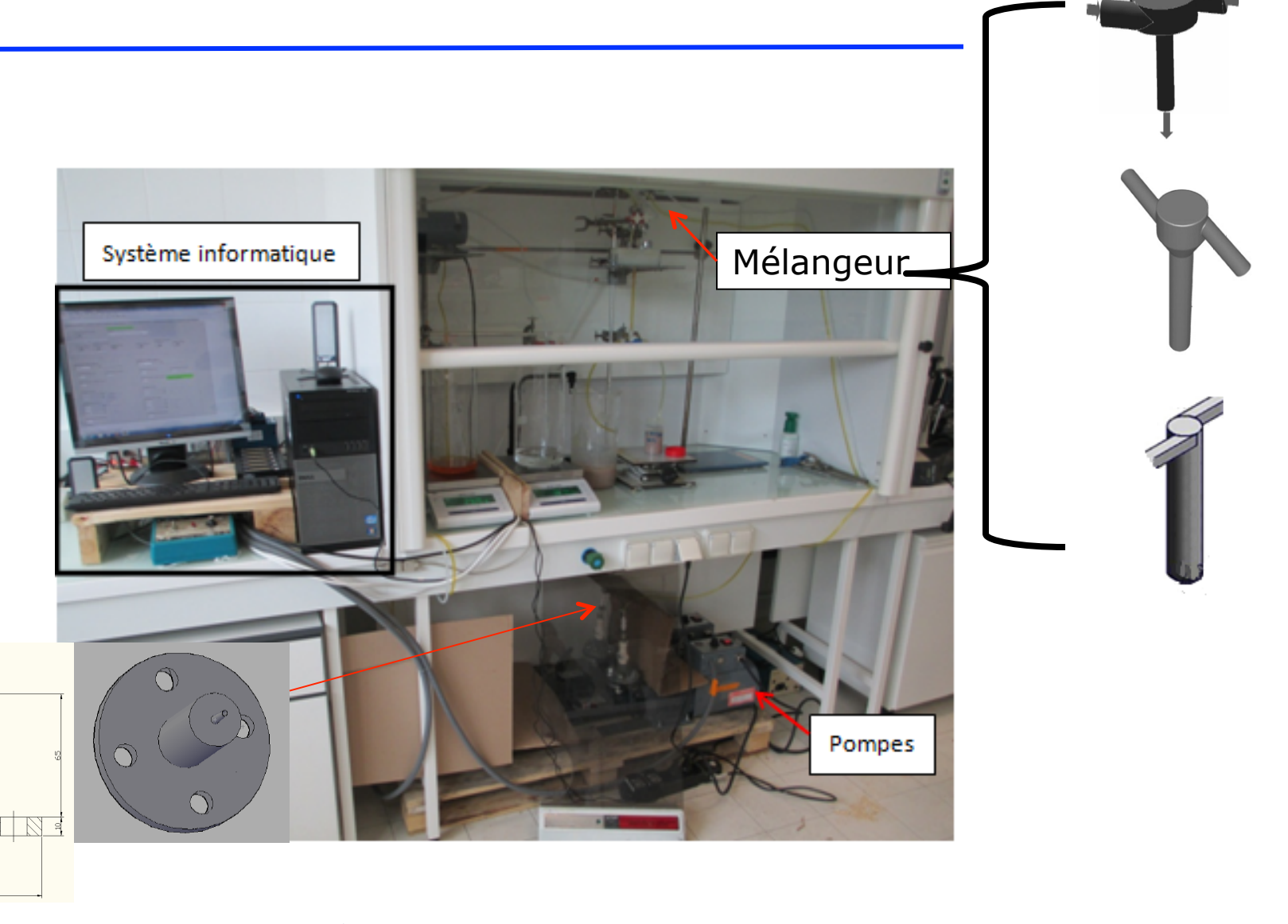


### réacteurs pour la précipitation





### réacteurs pour la précipitation





### synthèses hydrothermales

### autoclaves



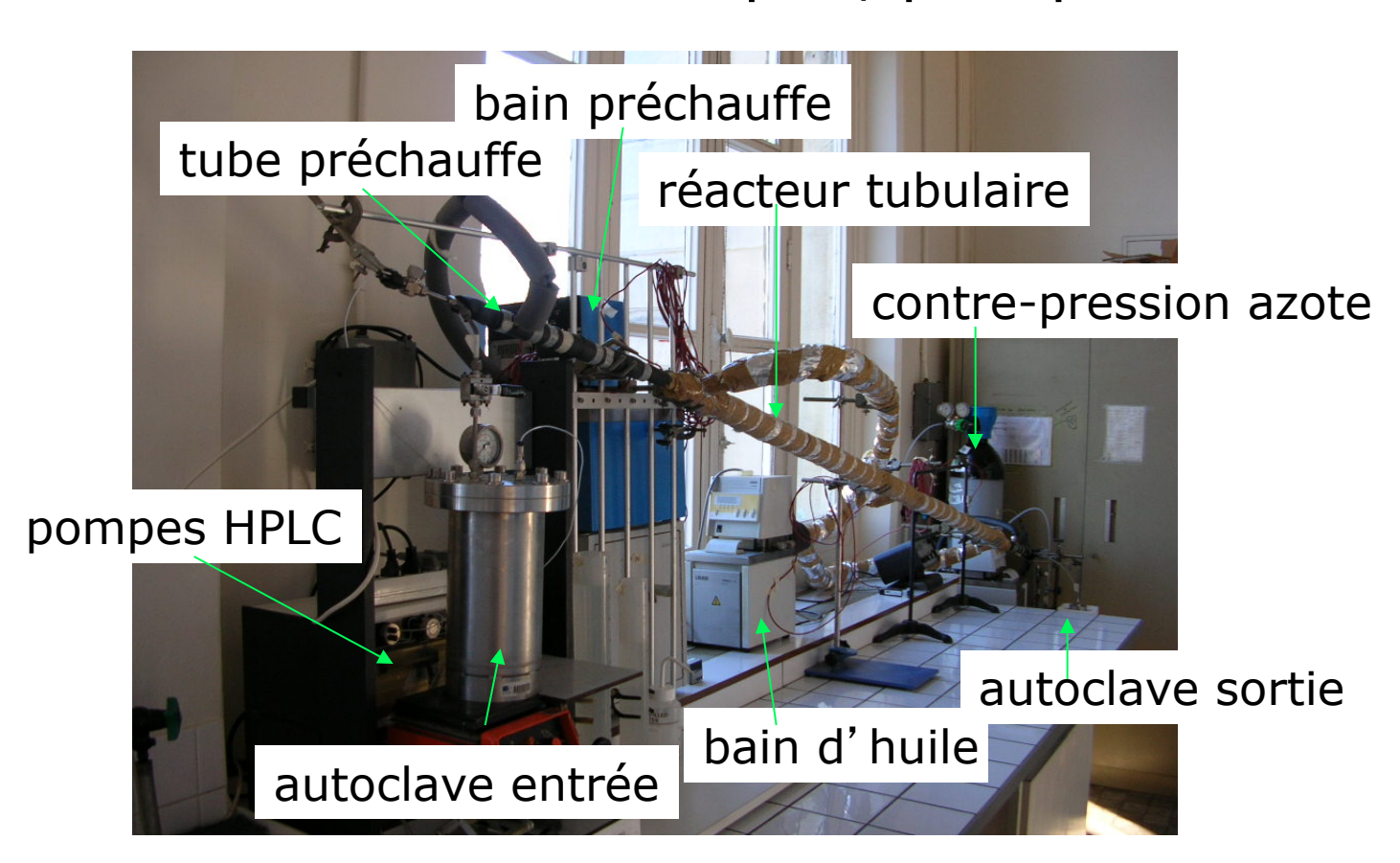
### enceinte micro-ondes





#### Réacteur tubulaire

### cristallisation d'amorphe, précipitation homogène





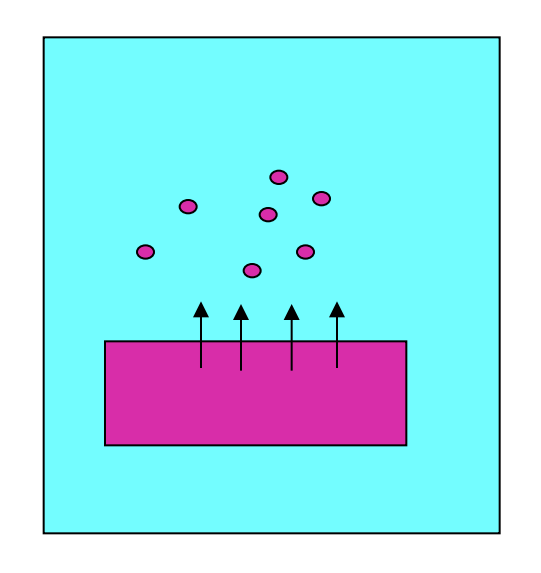
# précipitation d'(hydr)oxydes: introduction



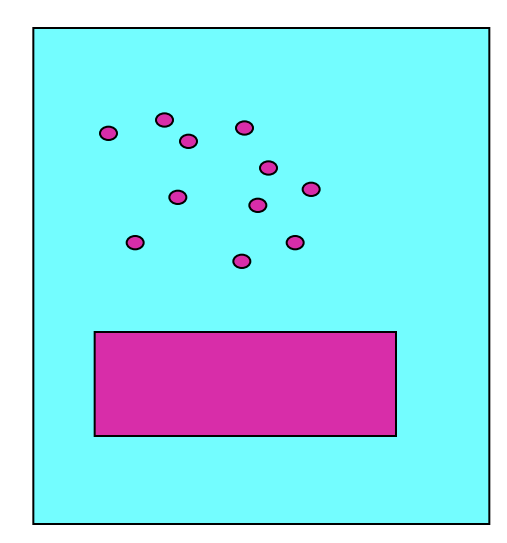
### concept-clé: la sursaturation

équilibre thermodynamique solide-solution  $[A(solution)] = [A_{équilibre}]$ 

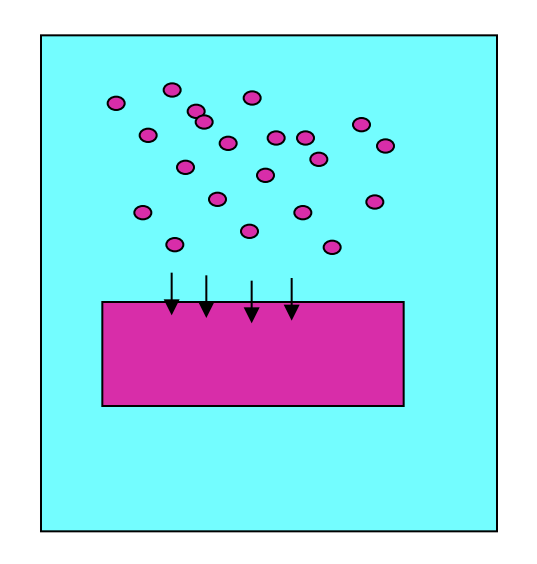
 $[A(solution)] < [A_{\acute{e}quilibre}]$ 



dissolution du solide



[A(solution)]>[A<sub>équilibre</sub>] sursaturation



précipitation (nucléation, croissance)



### cinétiques

lois cinétiques pour la nucléation et la croissance fonctions de la sursaturation et de la tension de surface, par exemple:

taux de nucléation 
$$J = J_0 \, \exp\!\left(-\frac{\Delta G_{i^*}}{R\,T}\right)$$
 avec 
$$\frac{\Delta G_{i^*}}{R\,T} = \frac{4\Theta^3}{27(\ln S)^2} \quad \Theta \text{ prop. tension de surface}$$

vitesse de croissance par nucléation 2D:

$$V_F^{\perp} = C_1 S \exp\left(-\frac{C_2 \gamma^2}{k^2 T^2 \ln S}\right)$$

cas idéal: pas de recouvrement nucléation-croissance



### mélange(s)

Trois niveaux de mélange chacun avec sa propre dynamique<sup>(2)</sup>:

 Macromélange : homogénéisation des concentrations à l'échelle du réacteur

 Mésomélange : ségrégation du fluide entrant en petits volumes interagissant les uns avec les autres

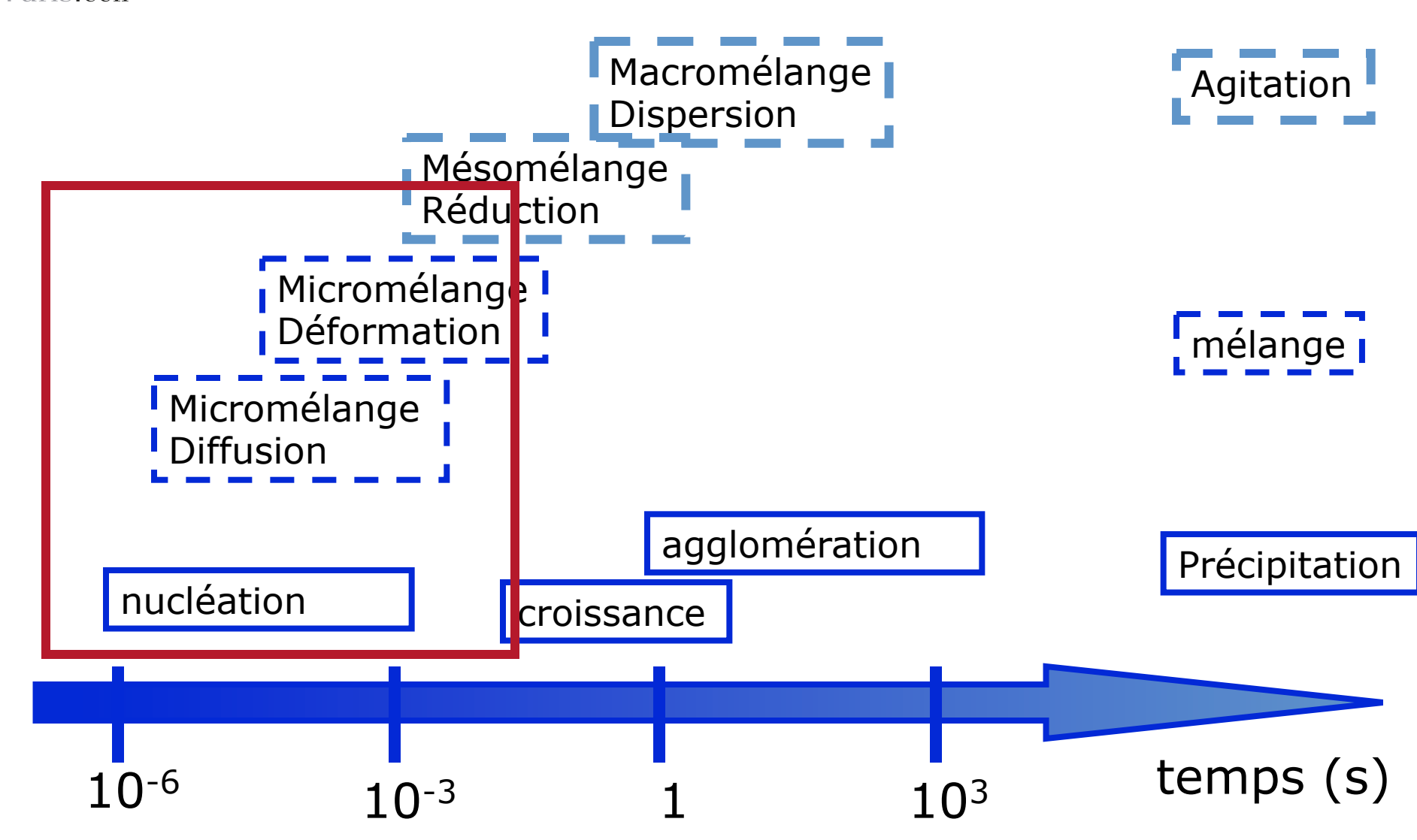
 Micromélange : homogénéisation des concentrations du niveau micrométrique \ jusqu'à l'échelle moléculaire

 Un paramètre clé : la puissance spécifique dissipée ε (W/kg) dans le réacteur

2. Jerzy Baldyga JRB. Turbulent Mixing and Chemical Reactions. Wiley, editor. Chichester: John Wiley; 1999. 890 p.

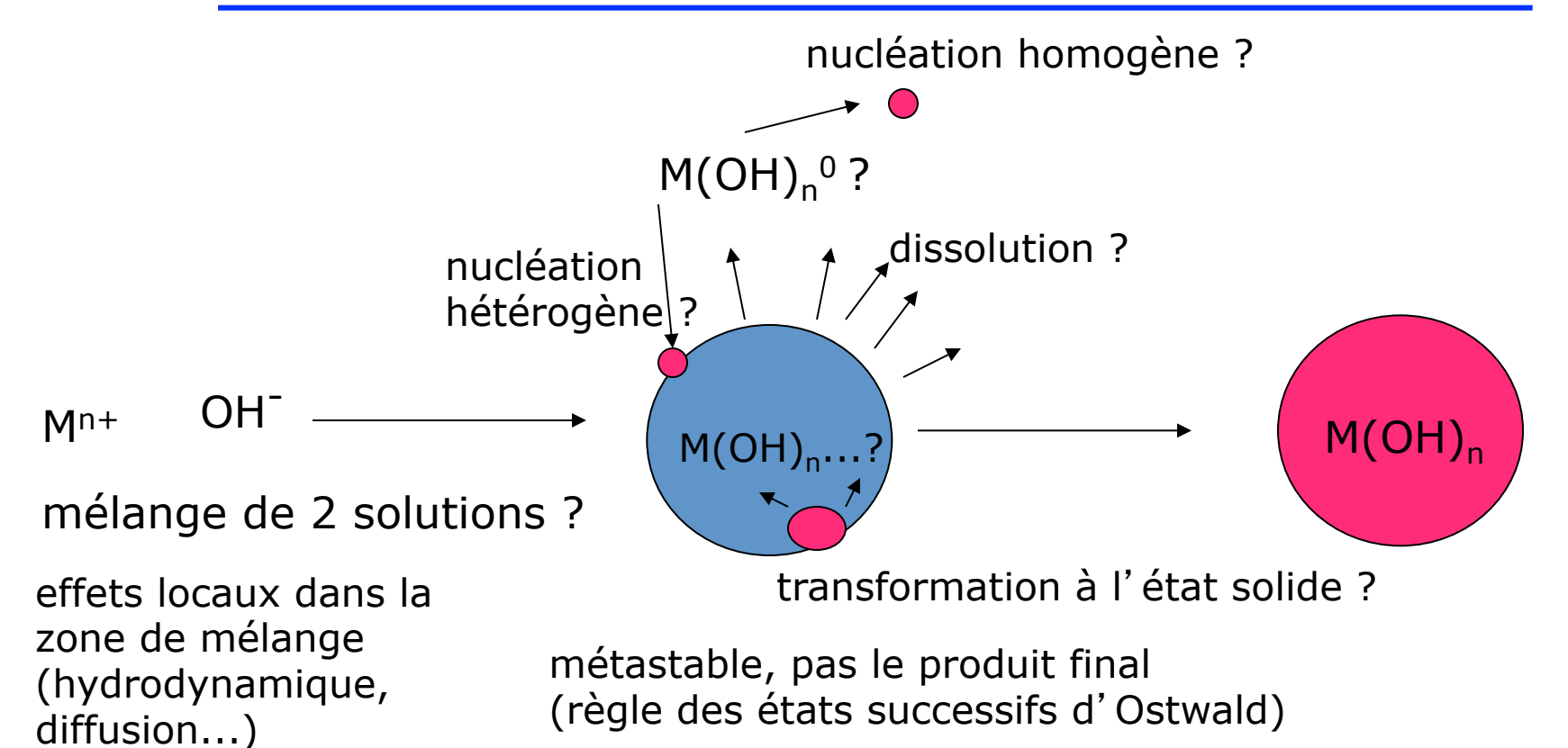


### comparaison des temps caractéristiques de MINES Mélange et nucléation/croissance





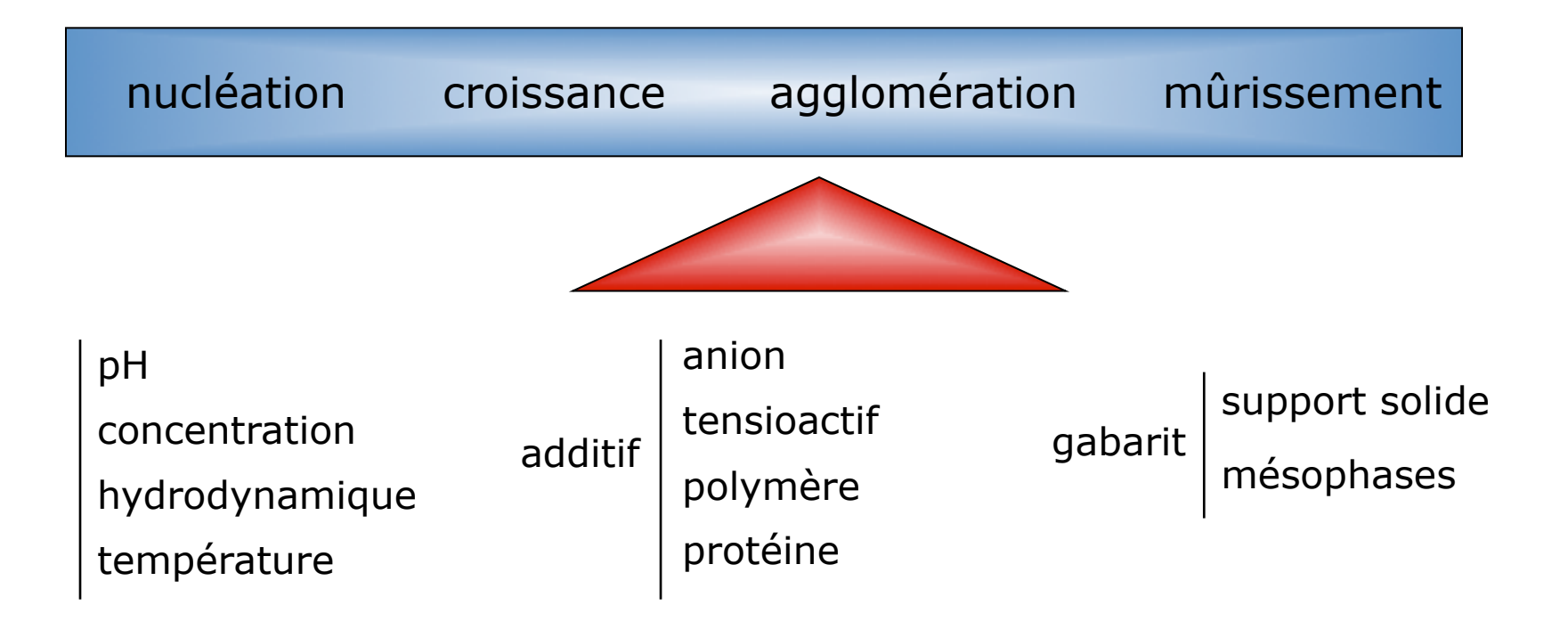
### Précipitation d'hydroxydes en solution aqueuse: Des phénomènes complexes...





### la pratique...

Efforts de recherches importants pour le contrôle de cristallinité, de taille et de morphologie de particules ou structures poreuses





### Précipitation d'hydroxydes

### Mélange de 2 solutions...

- -Réaction dans la zone de mélange: hydrodynamiques, micro and macromélange..effets locaux
- -**Jets séparés**: nucléation et croissance dans le « bulk »: contrôle des conditions physico-chimiques
- -Règle des états successifs: les **phases métastables** précipitent d'abord, leur **transformation** en produit final dépend des conditions physico-chimiques du « bulk »

#### Précipitation homogène

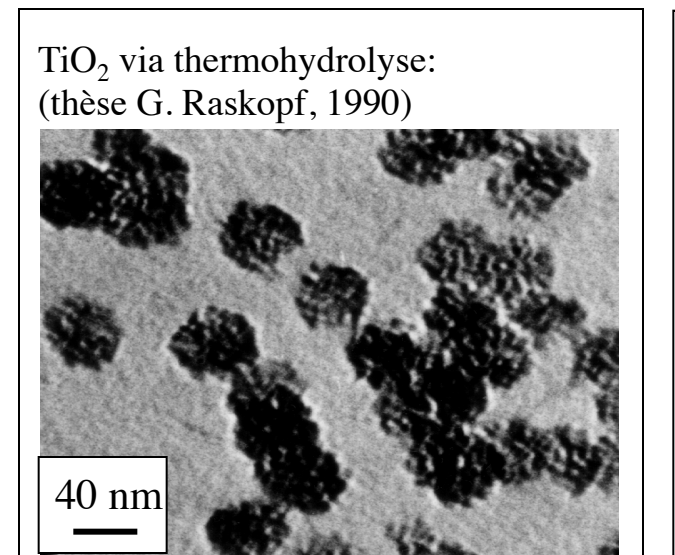
- -**Thermohydrolyse** (acide Fe<sup>3+</sup> or Ti<sup>4+</sup> )
- -décomplexation de complexes amminés (éléments de transition divalents)
- -Base retard (générée insitu): décomposition de l'urée (hydroxycarbonates amorphes)

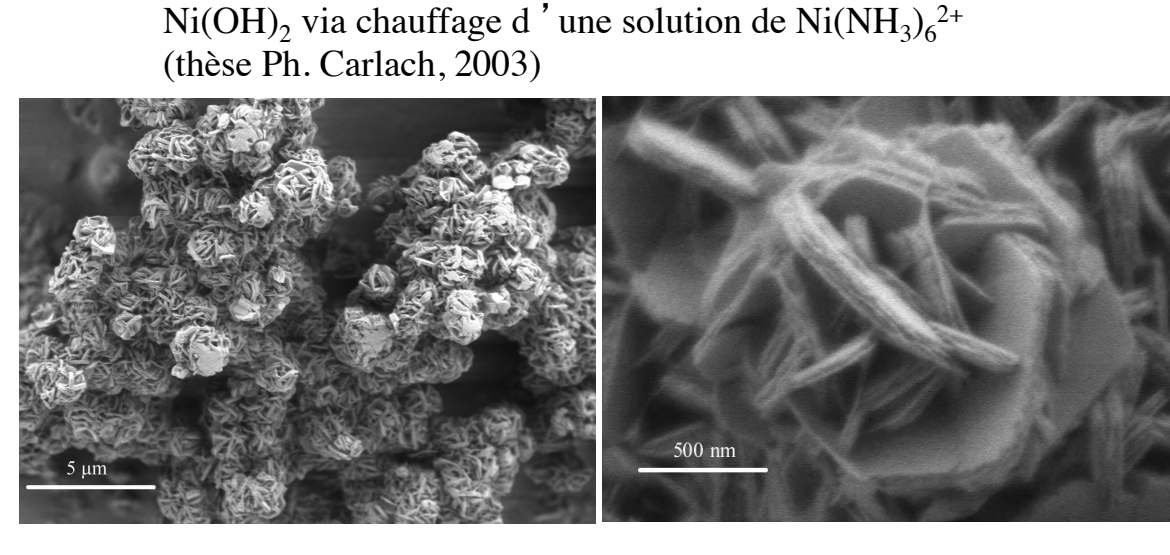


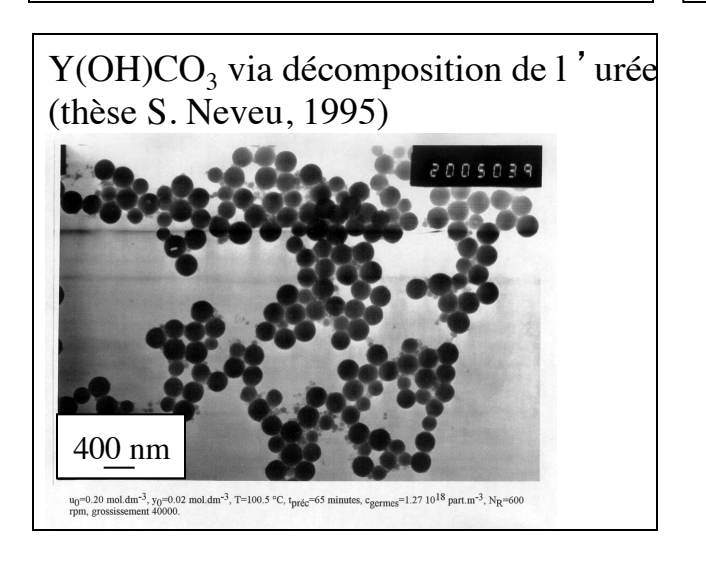
# précipitation homogène



### Procédés par voie homogène pour le contrôle de MINES \* taille, morphologie, composition de particules







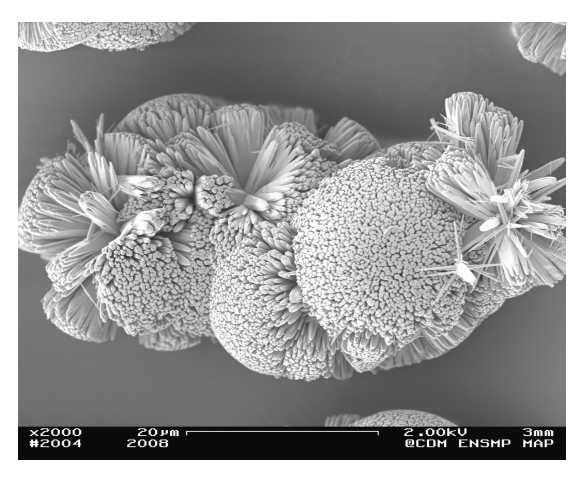
Précipitation homogène:

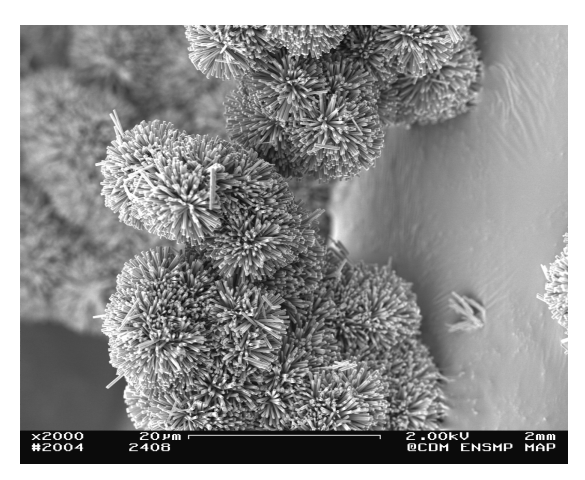
- -particules souvent monodisperses
- -nanostructures (mécanismes nucléation-croissance-agglomération)
- -Modélisation (cinétique), perturbations (agents tensioactifs)



### Précipitation homogène: déstabilisation de complexes à l'ammoniac

Oxyde de zinc: formes de type pompons, contrôle de la ramification par pH *J.-F. Hochepied, A.P. Almeida de Oliveira, V. Guyot-Ferréol and J.-F. Tranchant, J. Crystal Growth* 283 (2005) 156-162





**Hydroxyde de nickel et hydroxyde de cobalt**: étude paramétrique et effet de tensioactif anionique (thèses Lim, Carlach, Coudun)

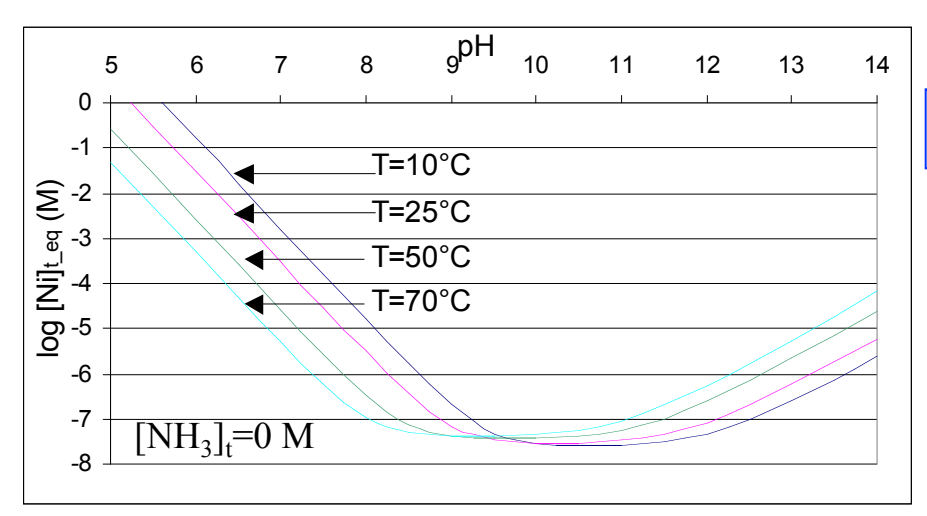
C. Coudun and J.-F. Hochepied, J. Phys. Chem. B 109 (2005) 6069-6074

C. Coudun, E. Amblard, J. Guihaumé and J.-F. Hochepied, Catalysis Today, 124 (2007) 49-54



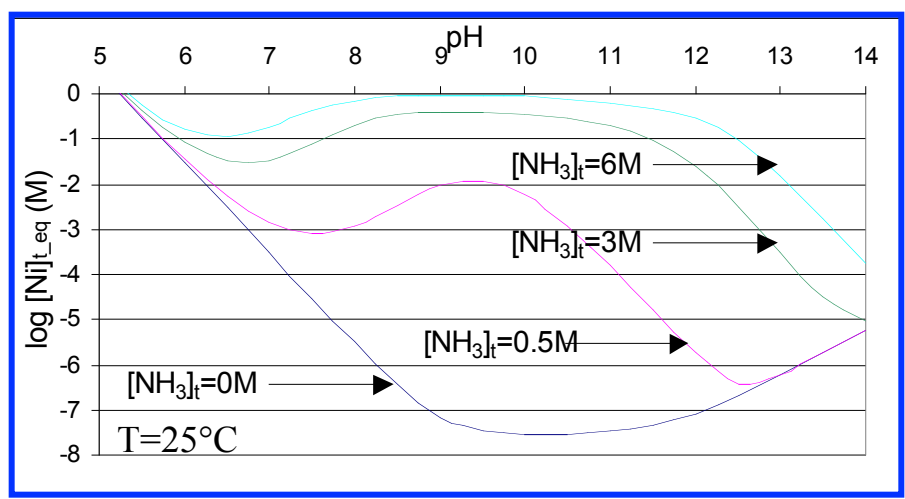
### Système Ni(II)-H<sub>2</sub>0-Ni(OH)<sub>2</sub>↓ NH<sub>3</sub>

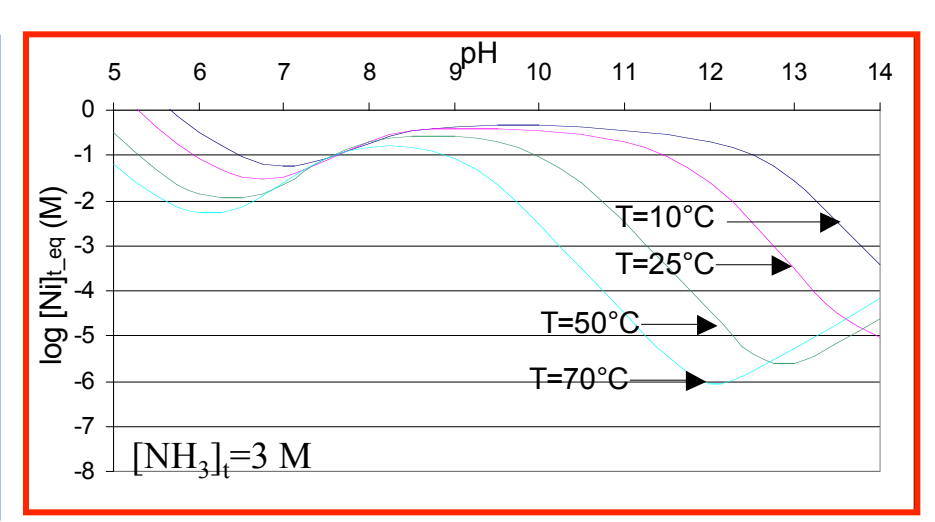
(calculs: Thèse Ph. Carlach)



NH<sub>3</sub>:forte solubilisation via complexes

grande sensibilité à la température

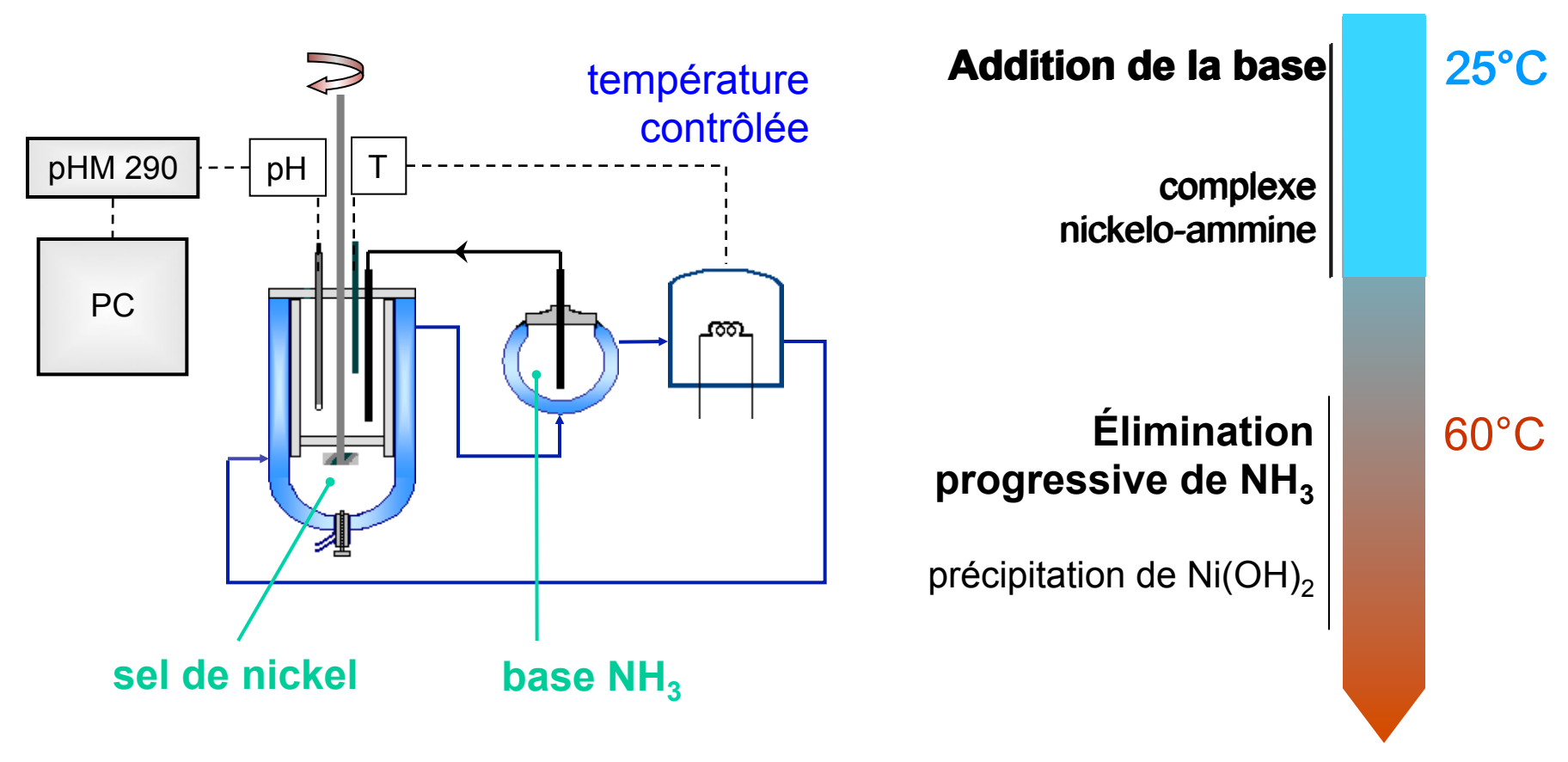






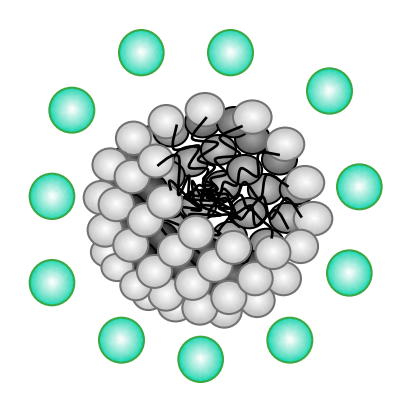
# Synthèse par déstabilisation des complexes à l'ammoniac (thèses Carlach et Coudun)

- 1) ajout progressif de la base  $NH_3$  au sel de nickel à 25°C  $Ni^{2+} + n NH_3 \longrightarrow Ni(NH_3)_n^{2+}$
- 2) puis augmentation de la température (60°C), pH libre



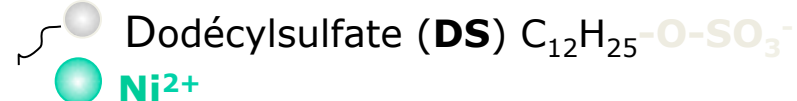
# Couplage précipitation homogène/ dodécylsulfate thèse C. Coudun

Comparaison sels de nickel "classiques" : nitrate  $Ni(NO_3)_2$ , sulfate  $NiSO_4$  et tensioactif (dodécylsulfate) fonctionnalisé nickel :  $Ni(DS)_2$  (DS= $C_{12}H_{25}SO_4$ )



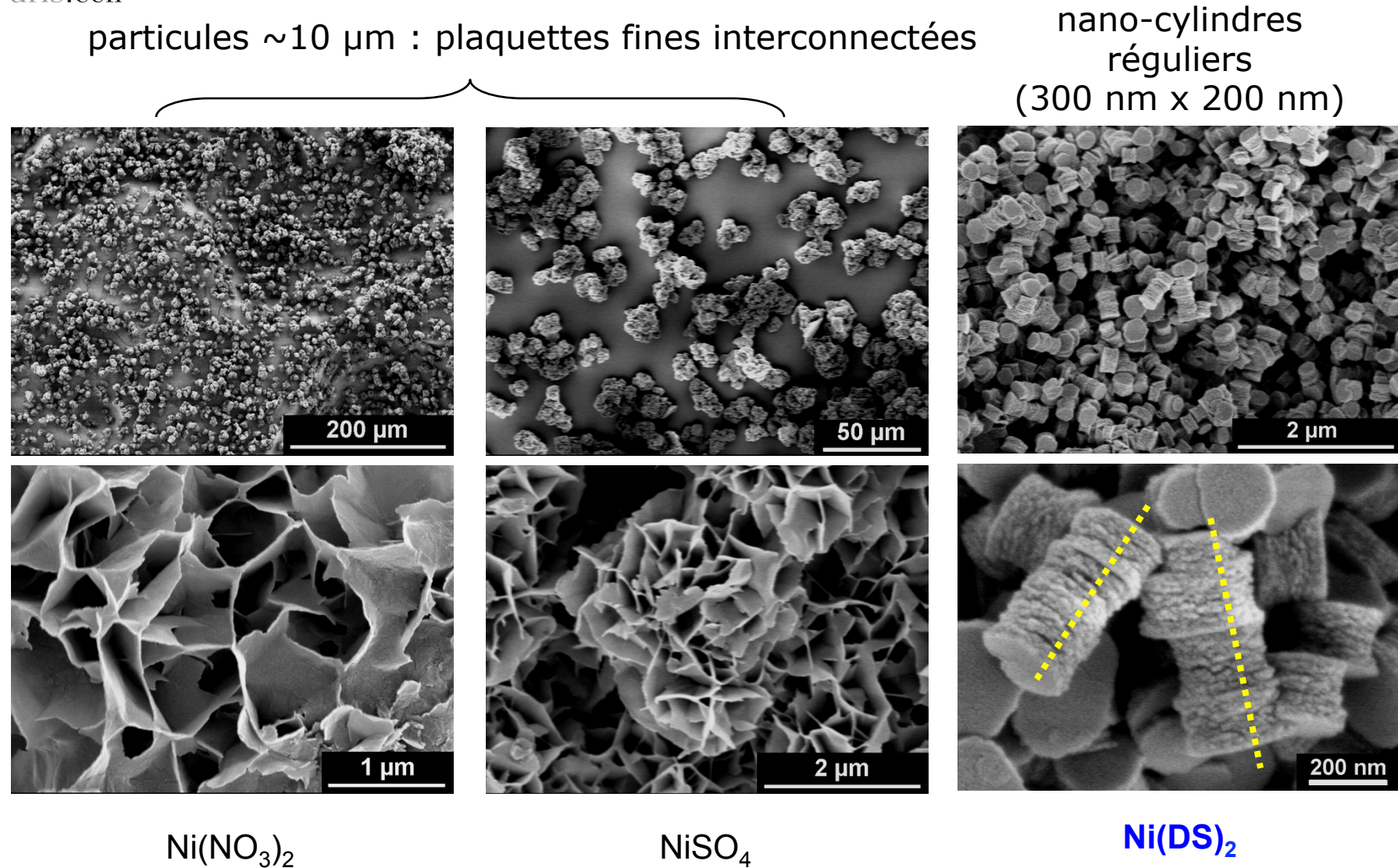
c > c.m.c. micelle directe ~ 10 nm concentre localement le réactif

pas de petit anion (nitrate, sulfate) en solution susceptible de s'insérer dans la structure de l'hydroxyde

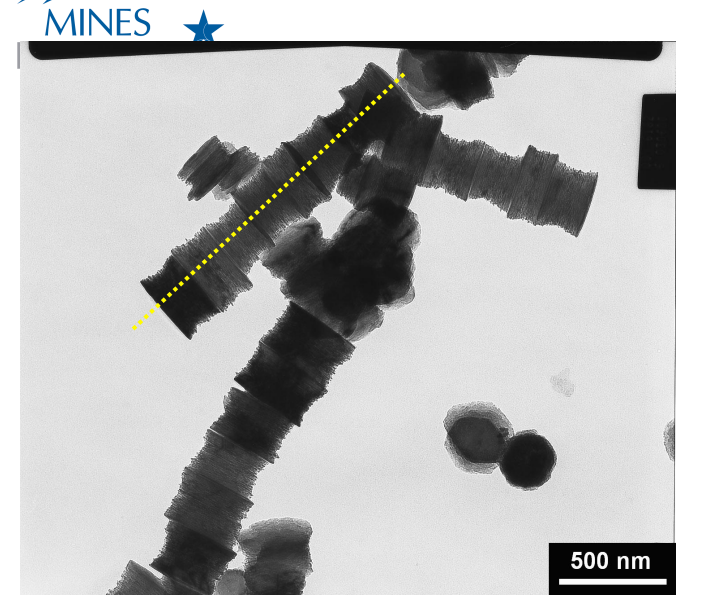




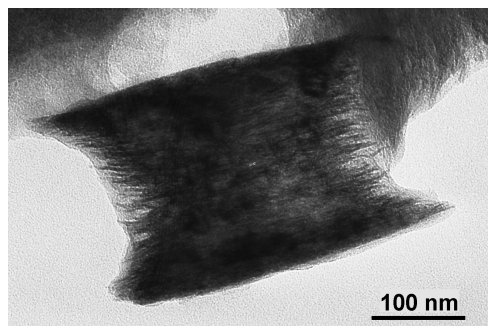
### Morphologies

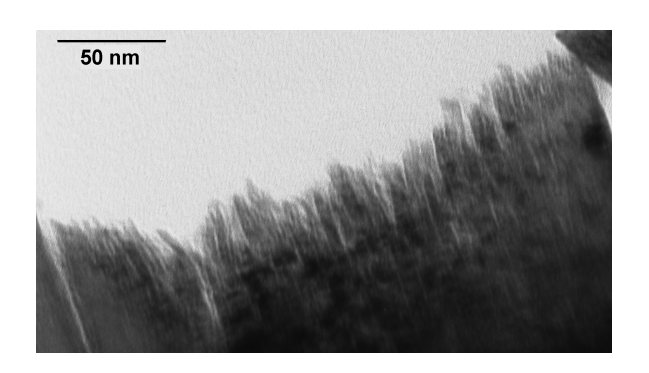


### cylindres obtenus à partir de Ni(DS)<sub>2</sub>

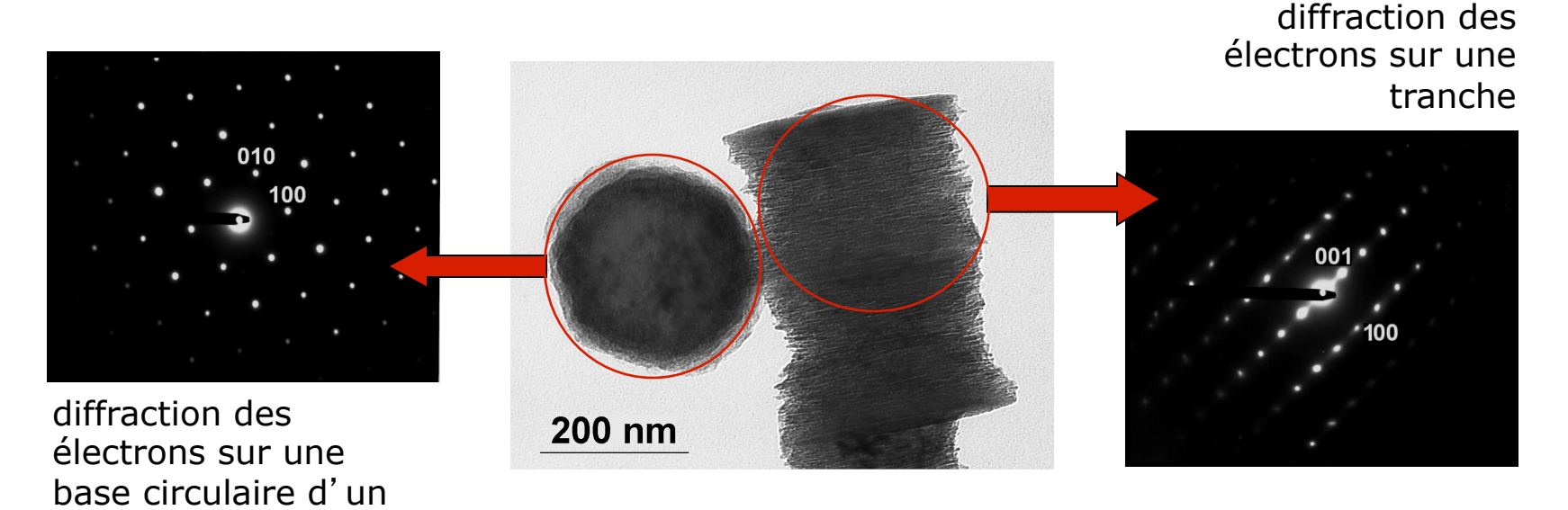


cylindre





régularité des lamelles en surface empilement régulier de lamelles de Ni(OH)<sub>2</sub> ??





# Interfaced anatase-rutile nanocomposites by thermohydrolysis and their photocatalytic properties

Alexandre Pichavant<sup>1,2</sup>, Elise Provost<sup>2</sup>, Marie-Hélène Berger<sup>1</sup>, Walter Fürst<sup>2</sup>, Jean-François Hochepie d<sup>1,2</sup>

I: MINES Paris Tech, Centre des Matériaux, Evry

2: ENSTA ParisTech, Unité Chimie et Procédés, Palaiseau



### Introduction

#### Motivation:

Creating anatase-rutile interfaces enhancing photocatalysis.

### • Strategy:

Anatase-rutile co-crystallisation assisted by Sn<sup>4+</sup> insertion: rutile phase promoter.

### • Syntheses:

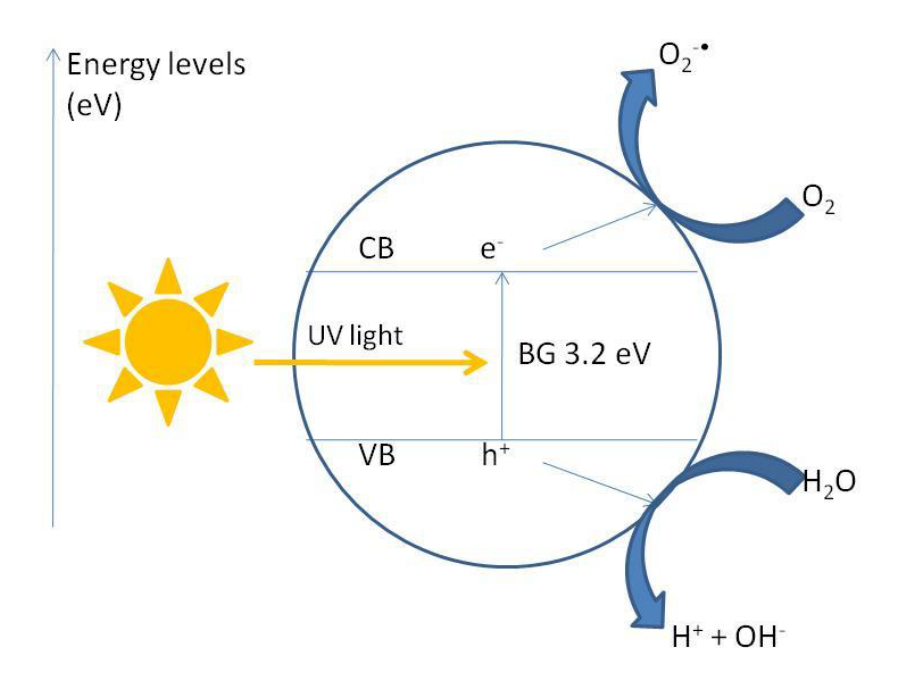
Thermohydrolysis in acidic conditions.

#### • Results:

- Nanocomposites
- Photocatalytic tests.



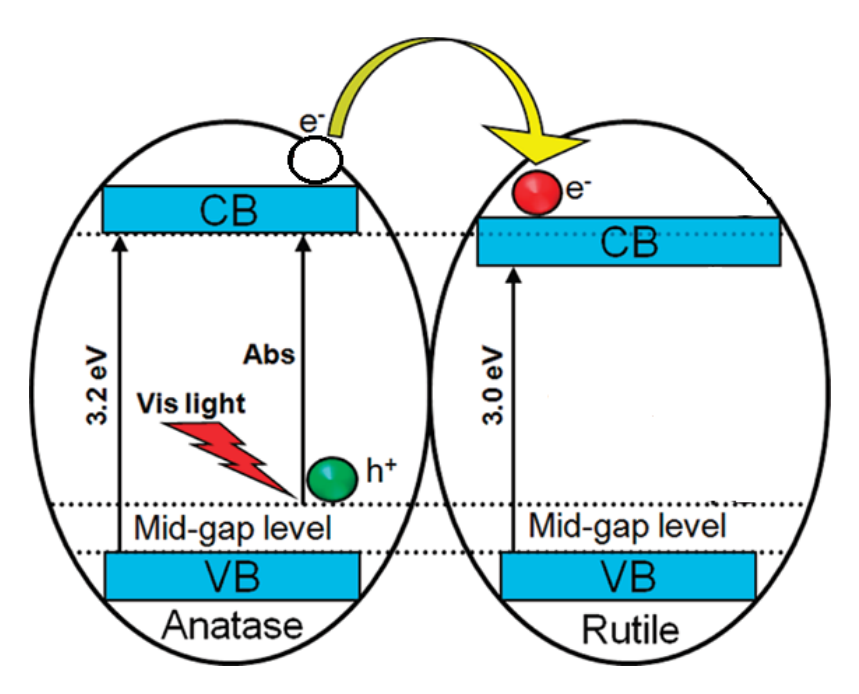
# Introduction: Photocatalysis



- Photon hv absorption induces electron-hole pair



### MINES \*Introduction: anatase-rutile nanocomposites

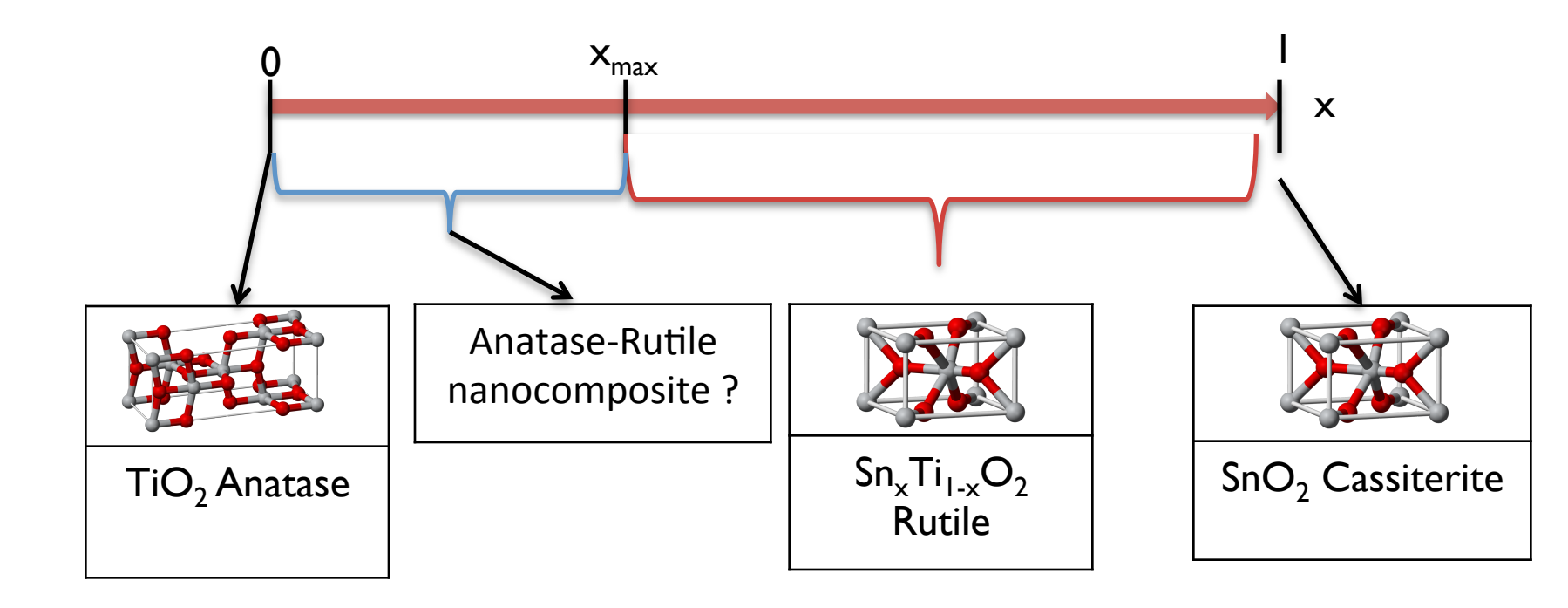


Etacheri et al. Inor. Chem. (2012) 51, 7164-7173.

- Anatase: good photocatalytic activity.
- Anatase-Rutile interfaces enhance photocatalytic efficiency owing to electron-transfer from anatase to rutile phase.

### MINES ParisTech

# \*Strategy: Sn-doped TiO<sub>2</sub> nanoparticles



As cassiterite is similar to rutile, Sn incorporation in  $TiO_2$  lattice induces rutile crystallization.

# \*Strategy: Sn-doped TiO<sub>2</sub> nanoparticles

- Synthesis carried out in previous works:
- Amorphous precipitation followed by:
  - Calcination 1,2
  - Autoclave treatment<sup>2</sup>
- Sol-gel route<sup>3</sup>
- our work : one-pot strategy

### MINES Solution preparation: chemical system

Starting materials	TiOSO <sub>4</sub> .xH <sub>2</sub> O and SnCl <sub>4</sub> .5H <sub>2</sub> O
Concentrations	[Ti+Sn] = 1.5  mol/l $[H_2SO_4] = 2 \text{ mol/l}$
Synthesis method	Thermohydrolysis (120°C), I hour Microwave heating source
Interest	Well-known system for Ti <sup>4+</sup> precipitation Easy way to study precipitation



# MINES \* Solid phase characterization

Technique	Characteristic observed
UV-Vis spectroscopy Reaction with $H_2O_2$ to form yellow $TiO_2^{2+}$ and 400 nm peak height measurement.	Ti <sup>4+</sup> titration in particles
Atomic absorption spectroscopy Overall particles titration, EDX being unsuitable for low concentrations	Sn <sup>4+</sup> titration in particles
Transmission Electron Microscopy (TEM)	Particles size and morphology, Lattice planes observation
X-ray Diffraction (XRD)	Anatase/Rutile phases ratio
N <sub>2</sub> gas adsorption (BET theory)	Specific surface area/pore size

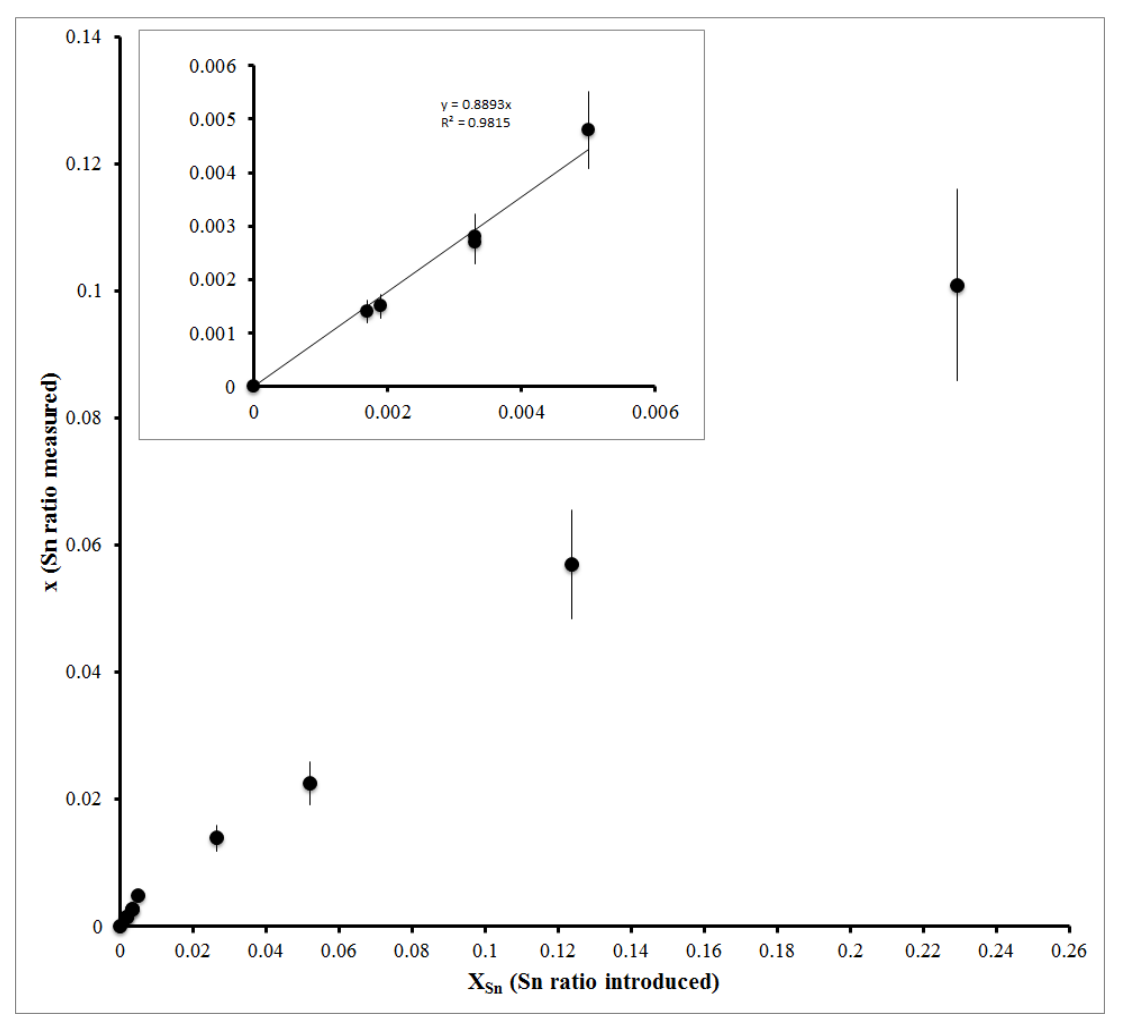


# 4 questions

- QI: Is Sn content in the solid controlled by Sn content in the solution?
- Q2:Does Sn content in the solid control rutile/anatase ratio?
- Q3:Are rutile and anatase particles interfaced or separated?
- Q4: Are the photocatalytic properties correlated to anatase/rutile ratio?



## Q1: %Sn in the solid vs %Sn in solution



%Sn<10%: y=x law approximately followed.

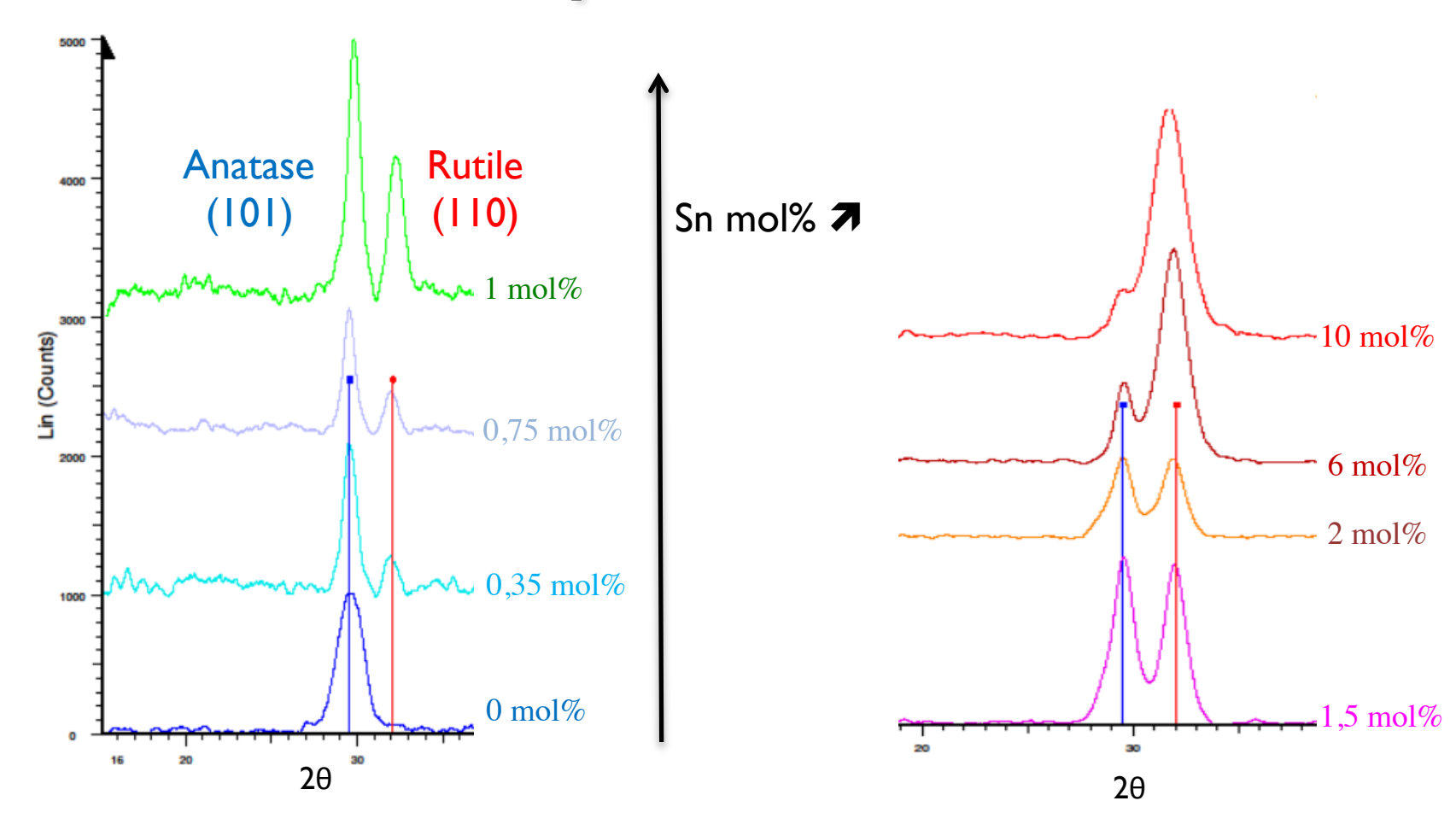
Not obvious a priori since Sn<sup>4+</sup> alone does not precipitate in these conditions.

Discrepancy: yield?

Sn content in the solid is controlled by Sn content in solution

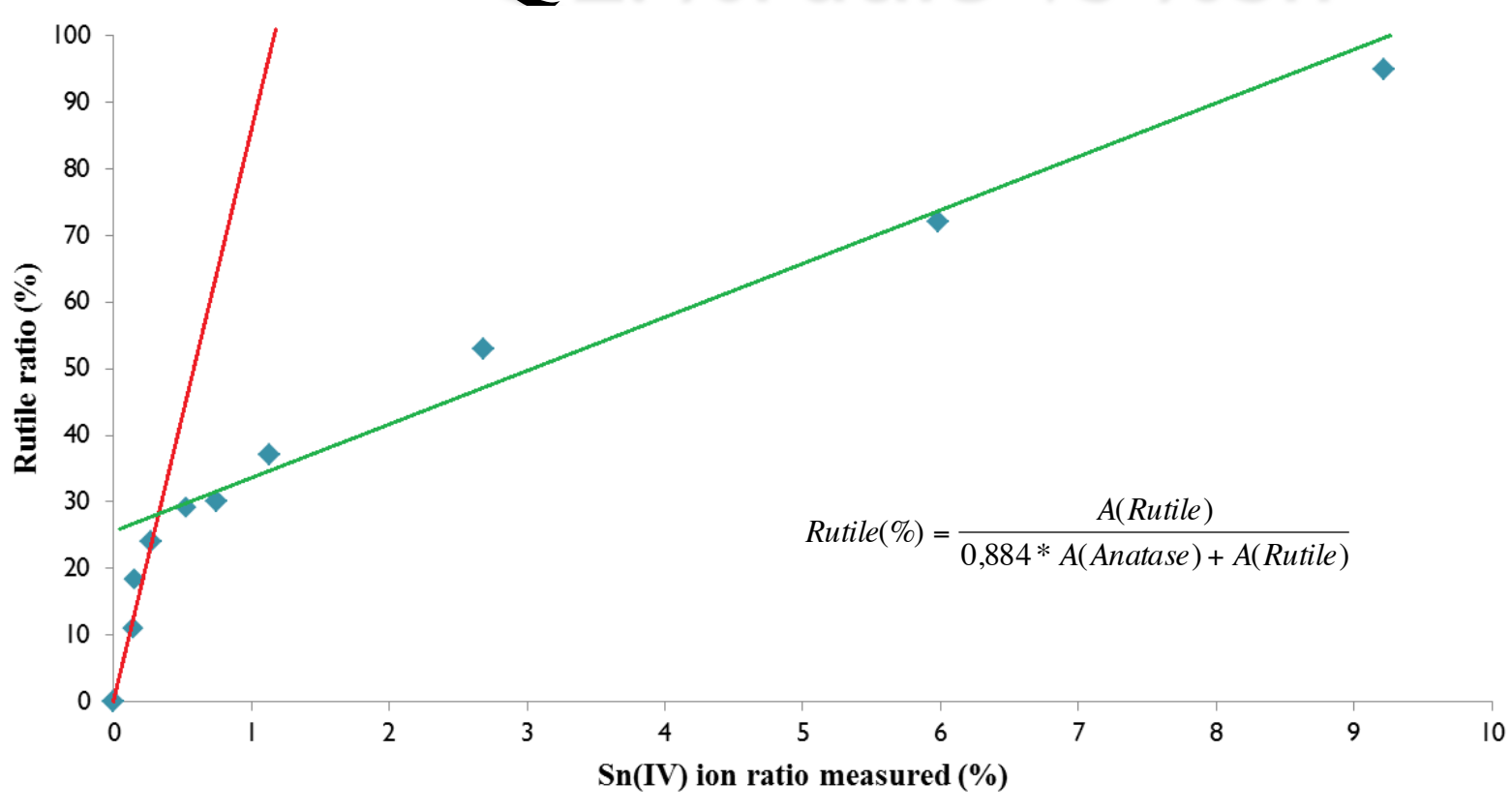


# Q2: X-ray Diffraction





### Q2: %rutile vs %Sn

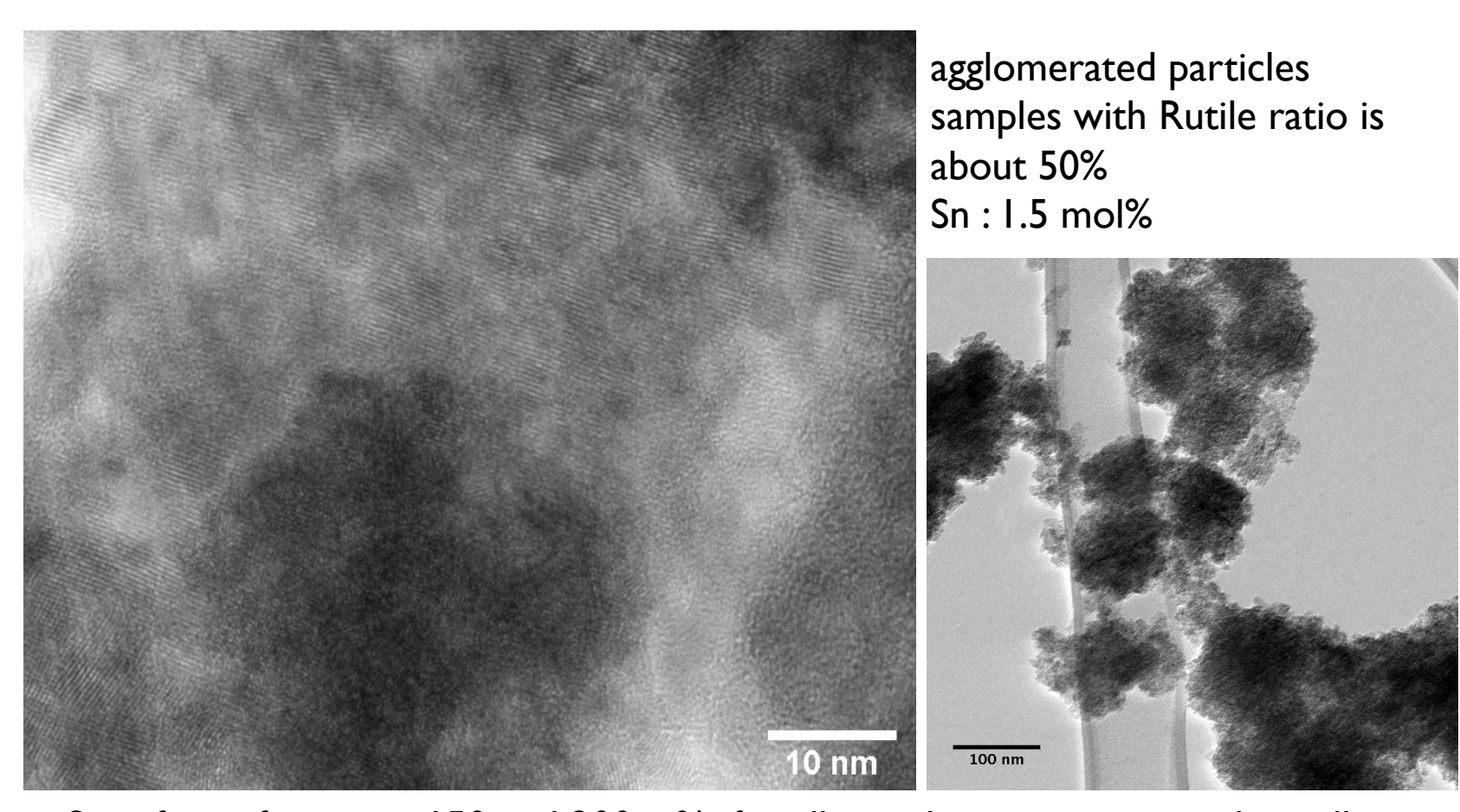


Rutile ratio is determined by XRD peak integration<sup>1</sup>.

Small amount of Sn<sup>4+</sup> induces significant Rutile crystallisation, Anatase crystallization when 1%<%Sn<10% may be explained by inhomogenous Sn repartition



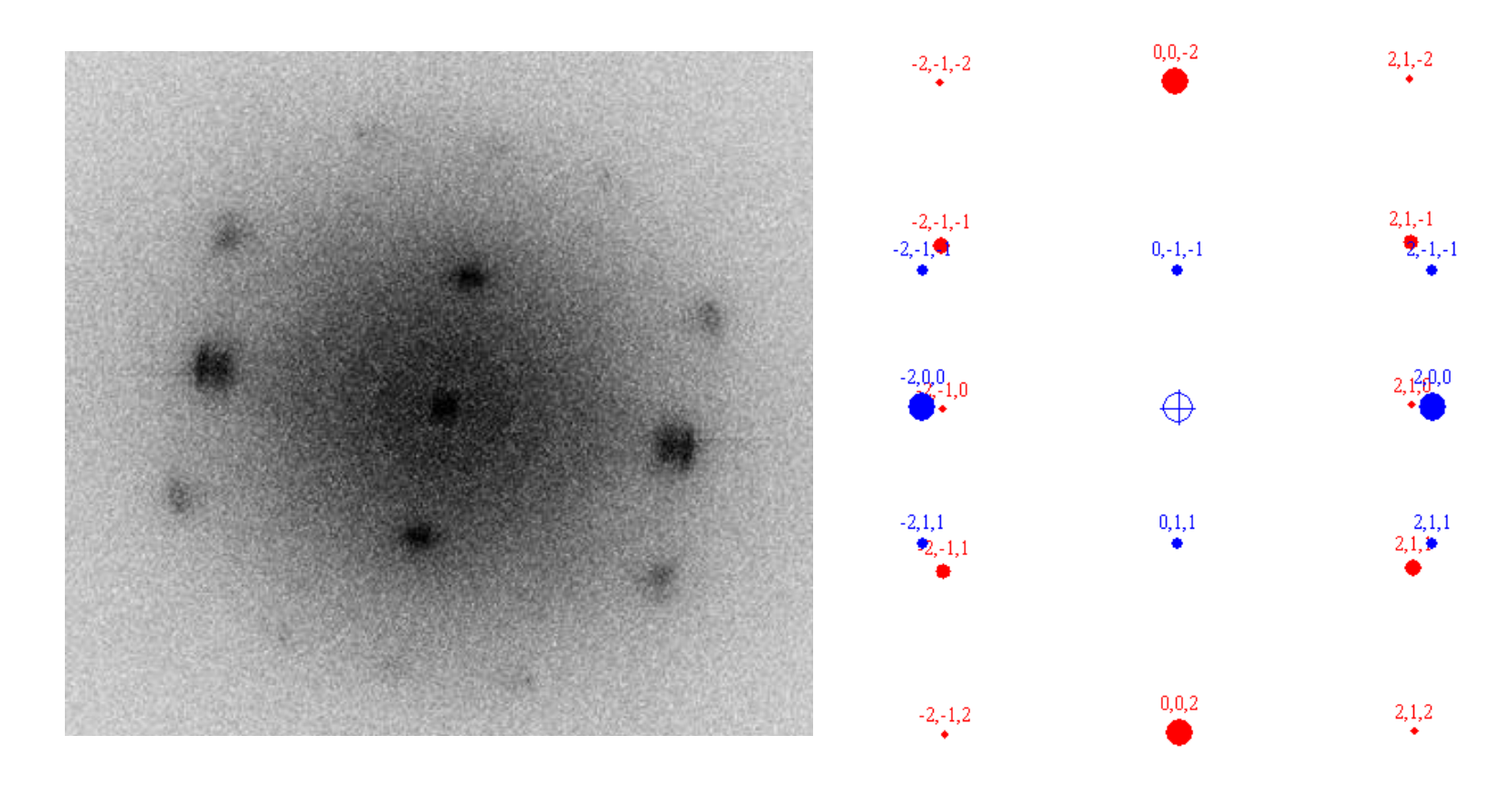
## MINES \* Q3:Transmission Electron Microscopy



Specific surface area: 150 and 200 m<sup>2</sup>/g for all samples, consistent with small particle size (10 nm).



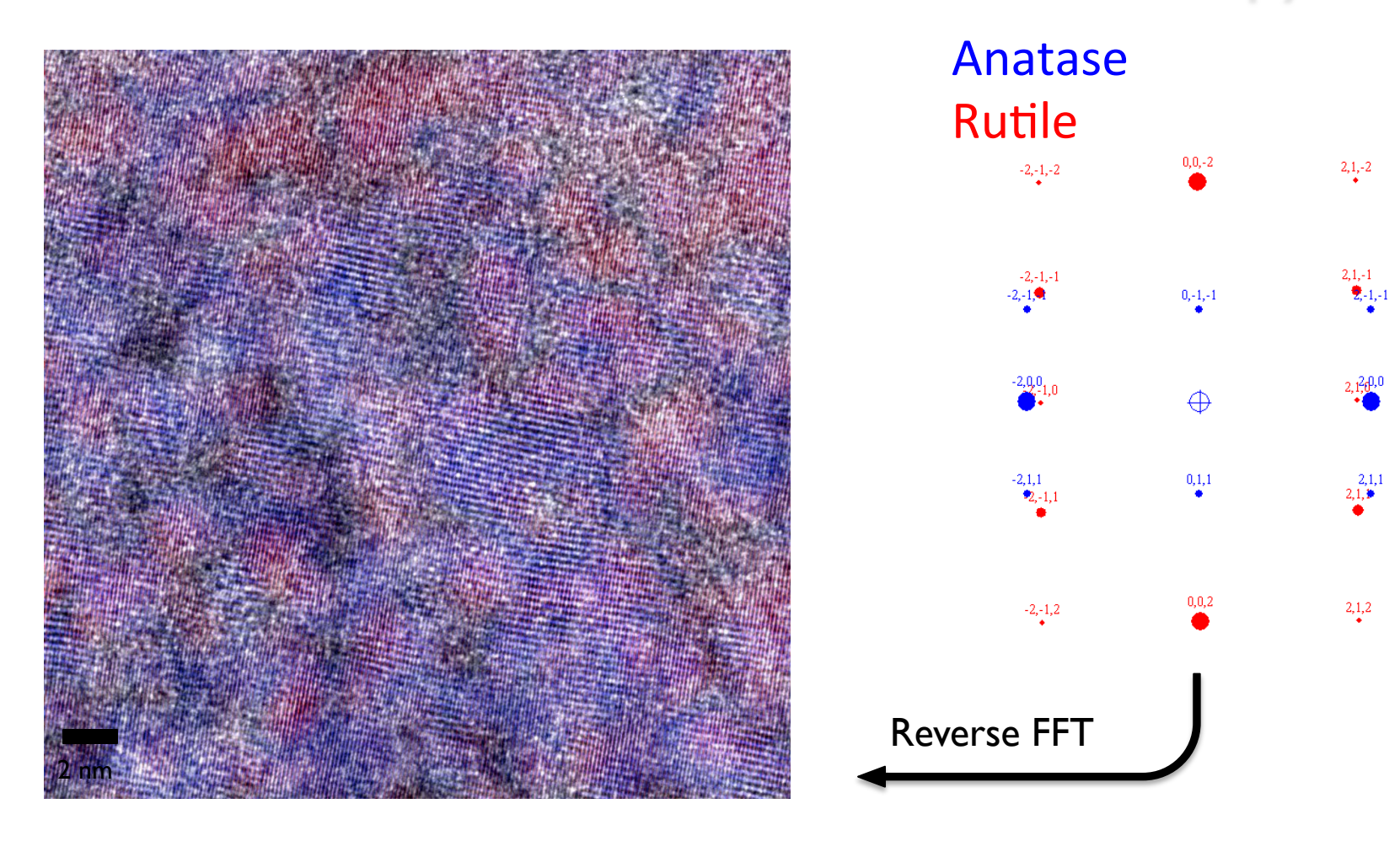
## Q3: Electron Diffraction



Hologram obtained after electron diffraction :  $(001)_{Rutile}$  and  $(011)_{Anatase}$  are parallel planes.



## MINES ★ Q3:Transmission Electron Microscopy

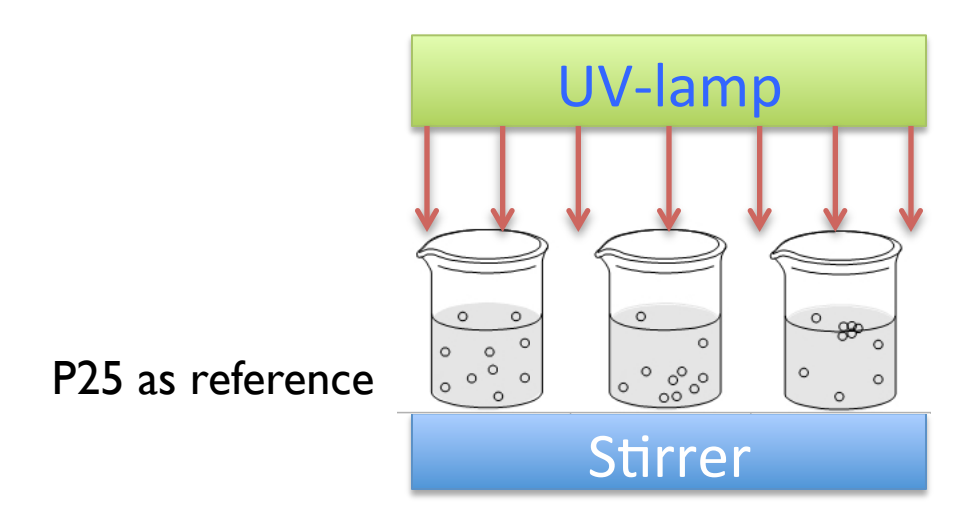


Porous nanocomposites with oriented  $(001)_{Rutile}$  and  $(011)_{Anatase}$  interfaces



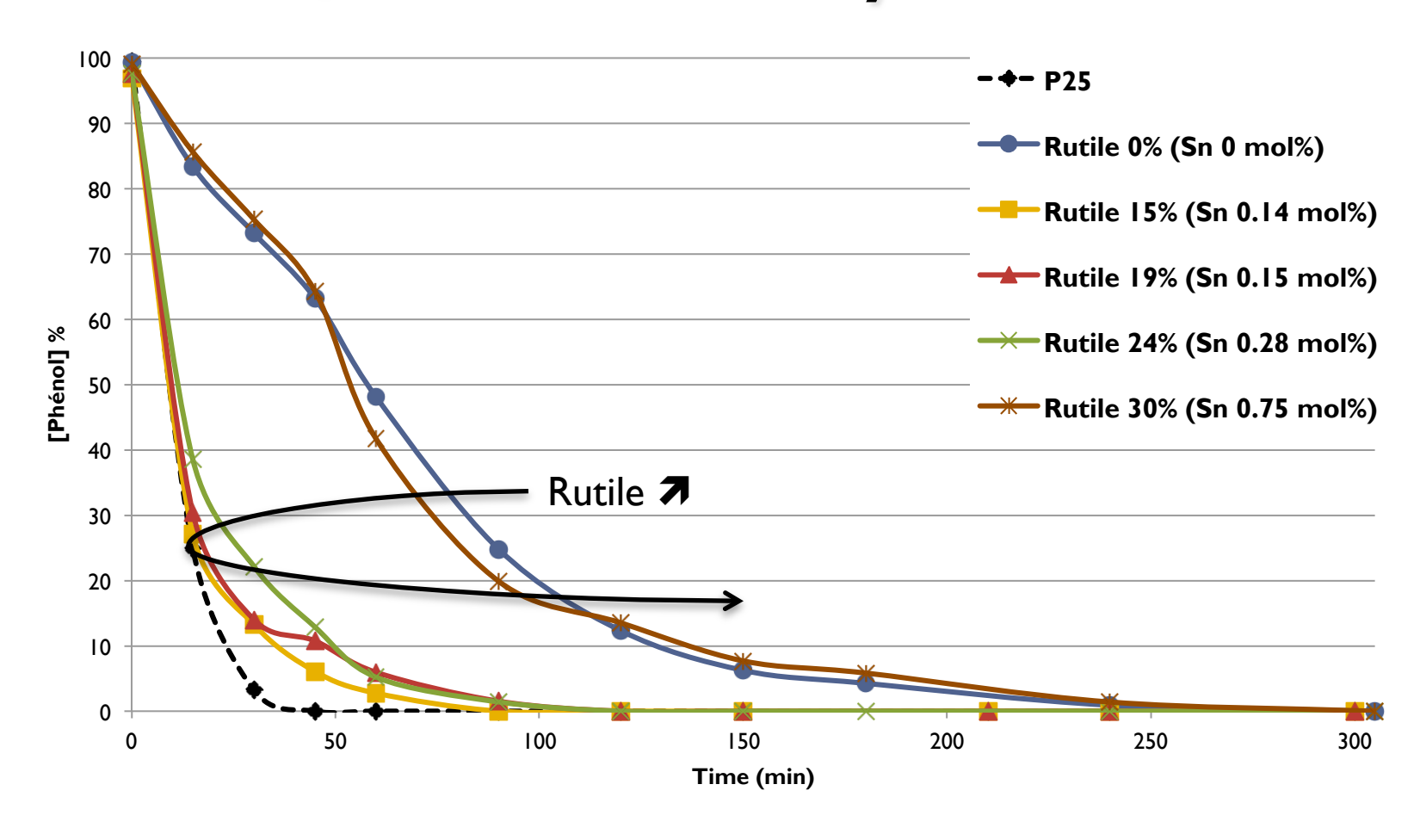
# Q4: Photocatalysis

- Experimental conditions :
  - About 20 mg nanoparticles in 50 ml phenol solution (7,5 mg/l).
  - pH adjusted to 7,0-7,5.
  - Beaker placed under a UV lamp.





# Q4: Photocatalysis



P25 (Degussa®) as reference (Rutile ratio about 17%). Phenol degradation monitored by UV-Vis spectroscopy.



## Conclusion

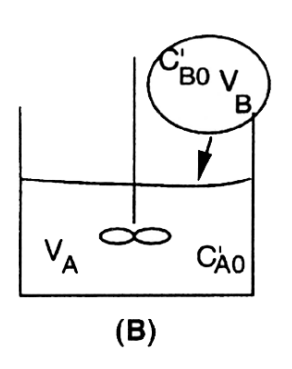
- Thermohydrolysis allows rutile-anatase ratio control by Sn<sup>4+</sup> using microwave heating with well-defined temperature ramp.
- Easy "one-pot" synthesis
- Obtained nanocomposites: improved photocatalytic activity /pure anatase.

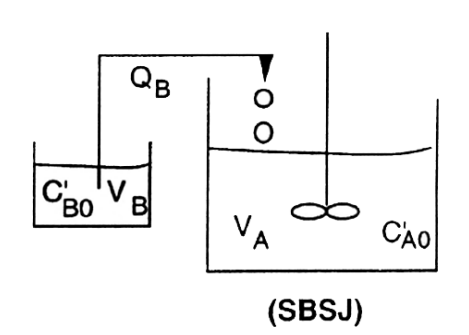


# double jet



### Réacteurs

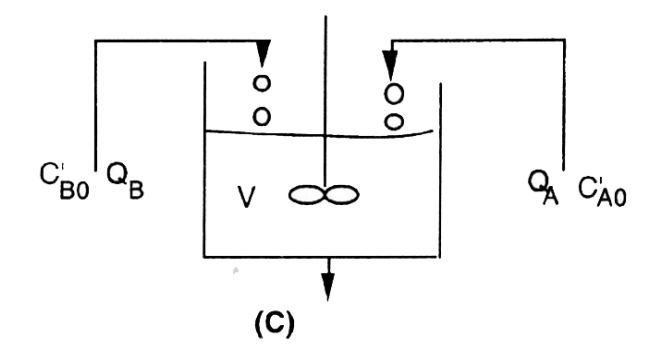




Simple jet:

- -Nucléation dans la zone d'injection
- -pH local?
- -variations spatiales et temporelles du pH

simple jet ou double jet?

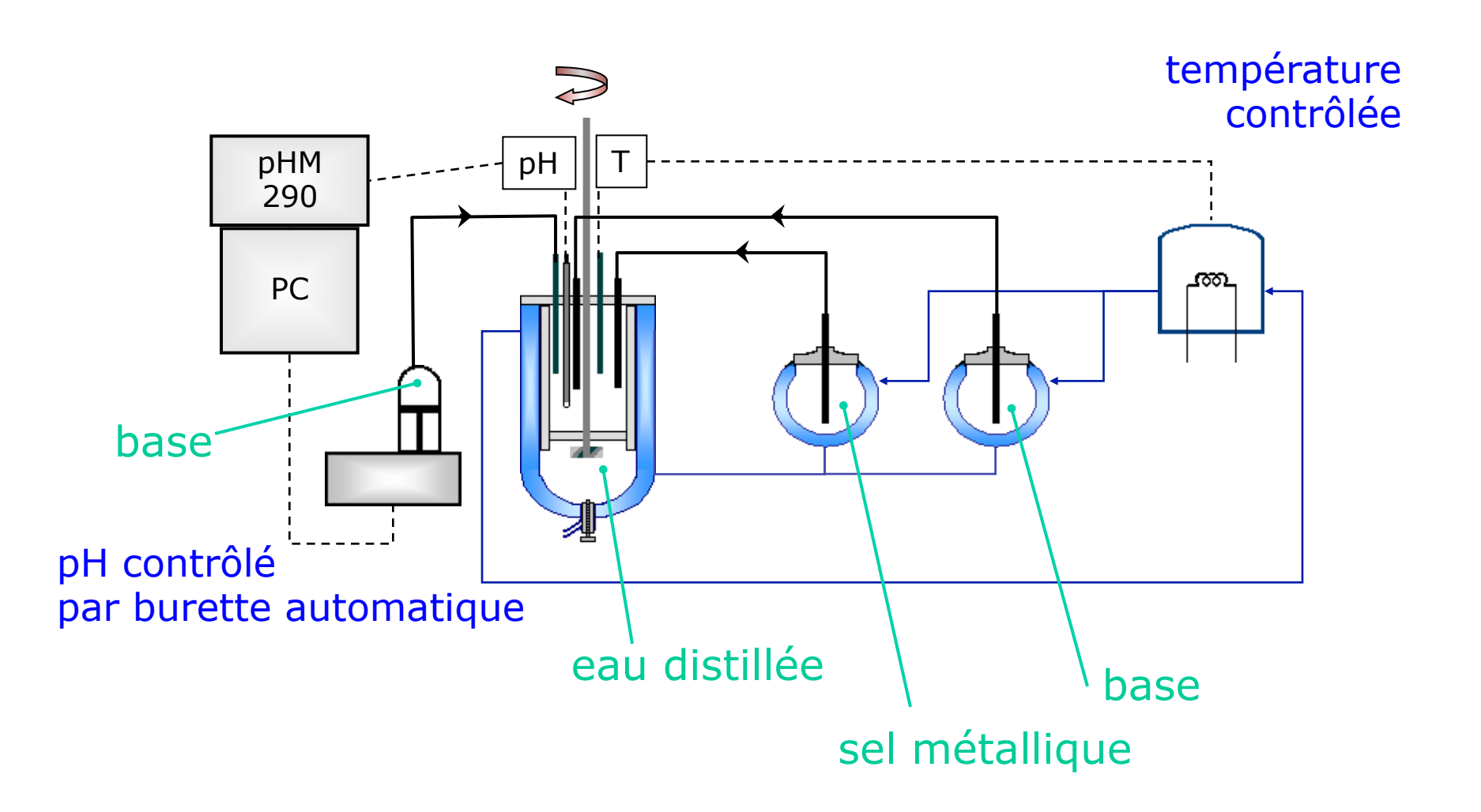


Double jet:

- -stationnaire
- -pH « bulk » contrôlé



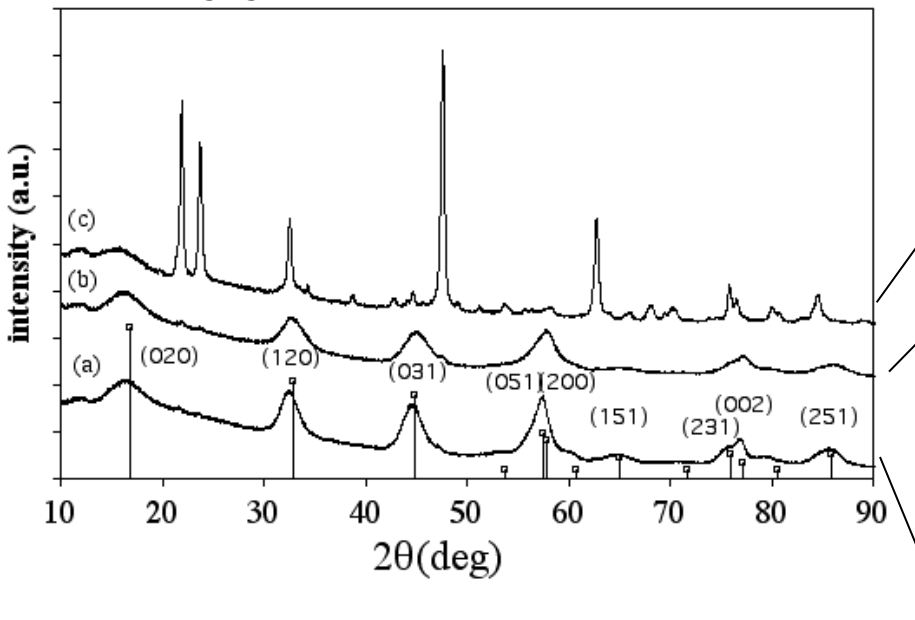
### Méthode du double jet à pH fixé





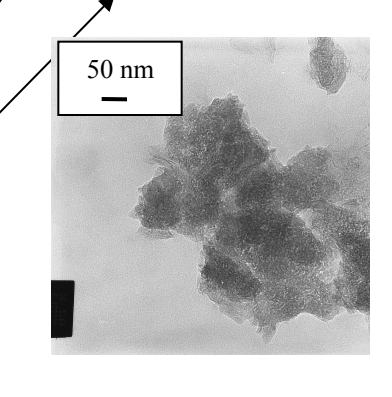
### Exemple d'effet du mélange sur la nature et la morphologie du précipité

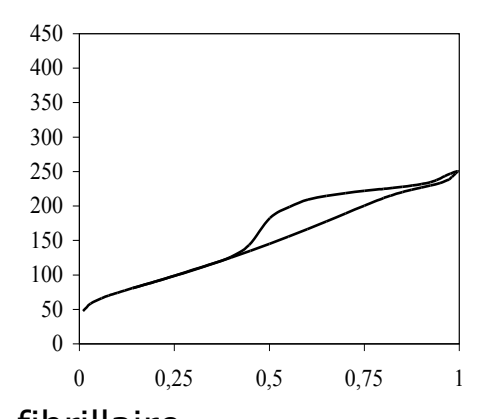




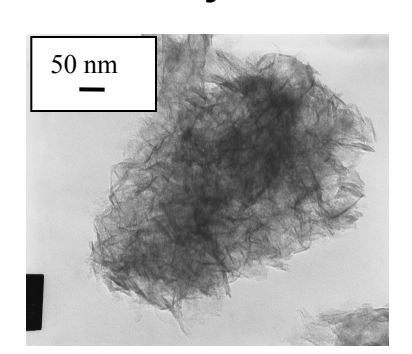
base dans acide: bayerite (hydroxyde), particules non poreuses

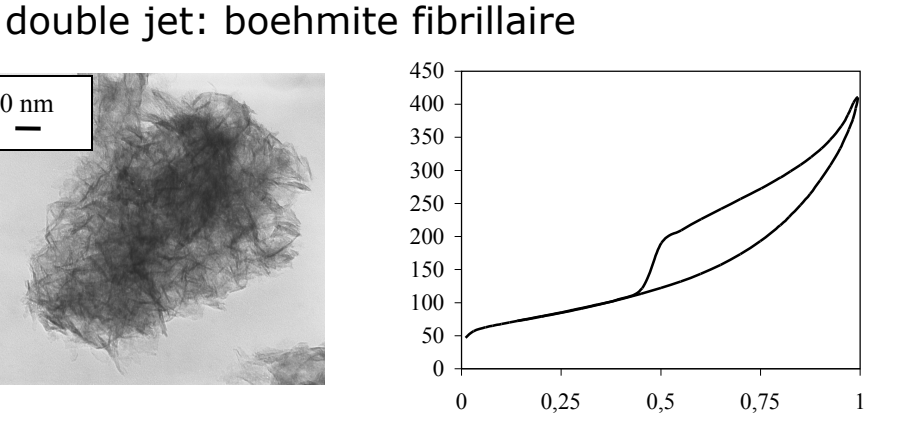
acide dans base: boehmite mésoporeuse





Importance du mélange: Amorphe acide -> boehmite mésoporeuse Amorphe basique -> bayerite







### Méthode du double jet à pH fixé

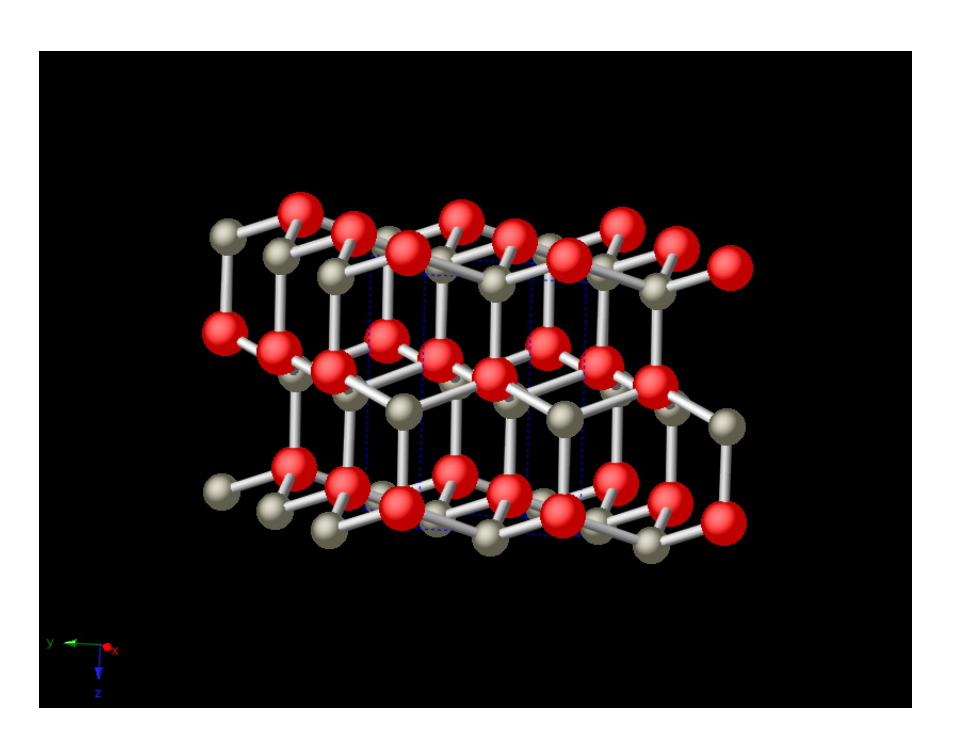
Boehmite: impact du mélange sur la morphologie J.-F. Hochepied, O. Ilioukhina and M.-H. Berger, Mater. Letters (2003), Vol. 57, pp 2817-2822

Hydroxyde de nickel: effet de pH sur la taille, cristallinité et forme. C. Coudun, F. Grillon and J.-F. Hochepied, Colloids and Surfaces A, 280 (2006) 23-31

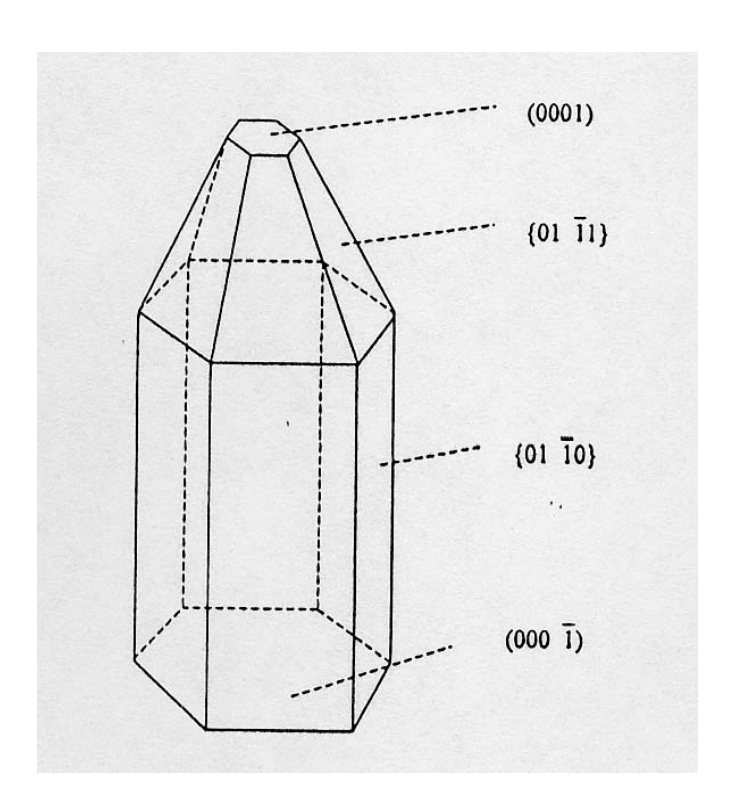
Oxyde de zinc: effet de pH sur la morphologie A. P. Almeida de Oliveira, J.-F. Hochepied, F. Grillon and M.-H. Berger, Chem. Mater. (2003), Vol 15(16); pp 3202-3207



### Oxyde de zinc



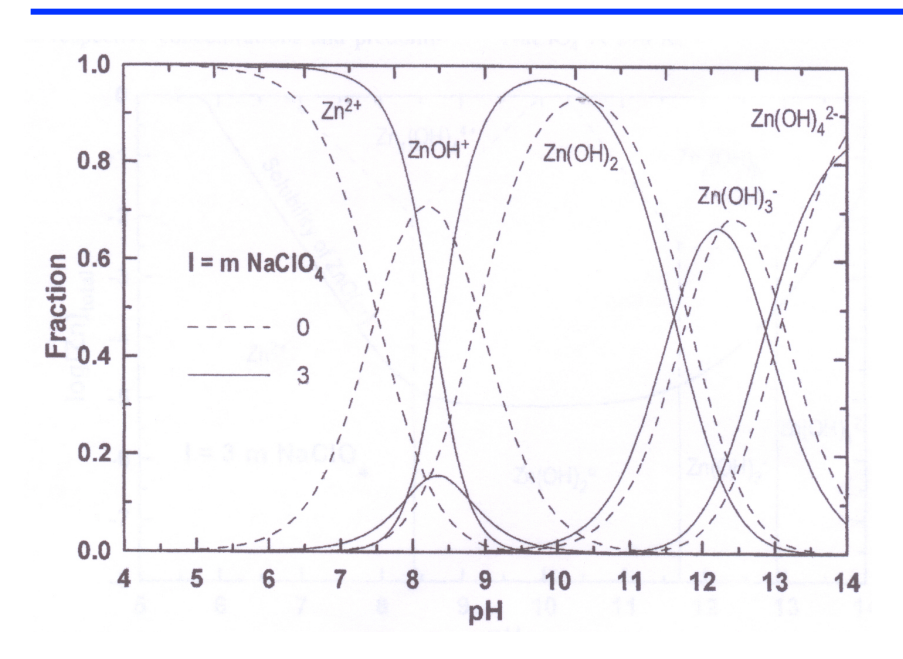
hexagonal, a=3.25 Å, c=5.21 Å

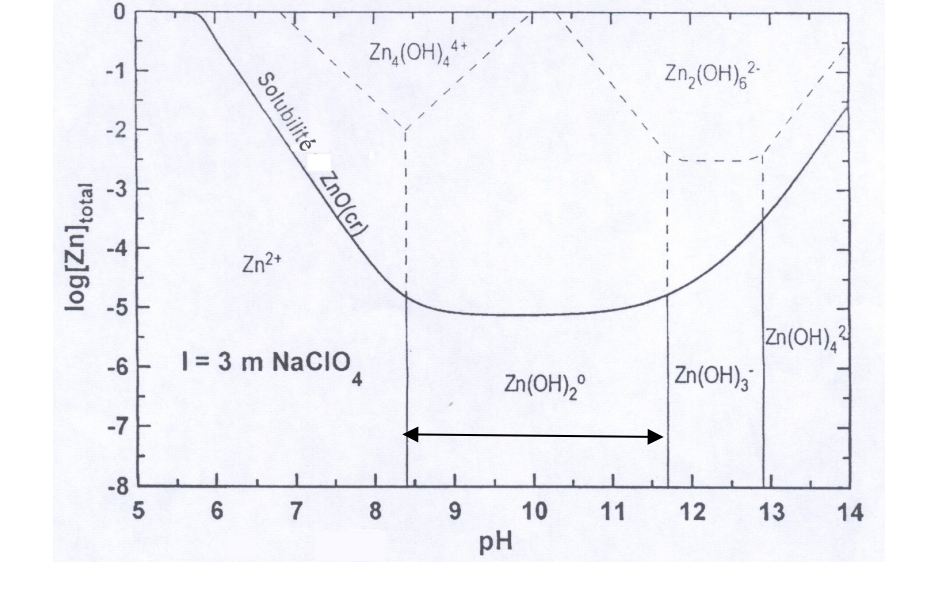


forme de croissance [LI et al., 1999]



### spéciation et solubilité





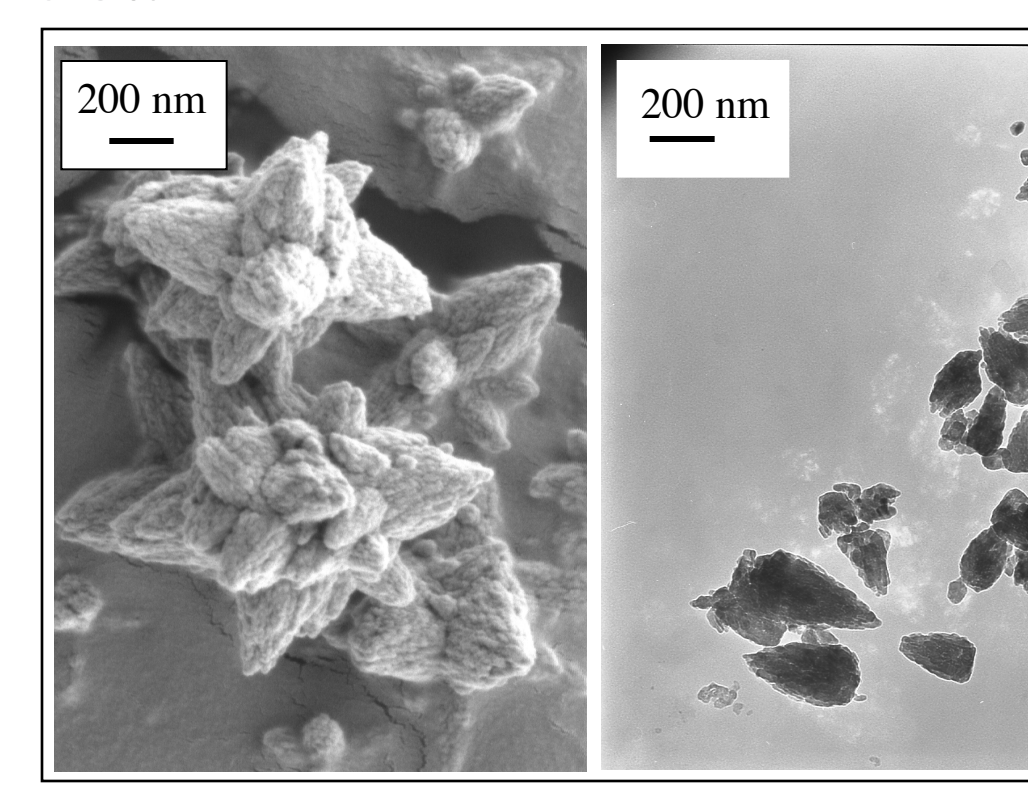
double jet: pH fixé au long de la précipitation spéciation en solution et sursaturation fixées.

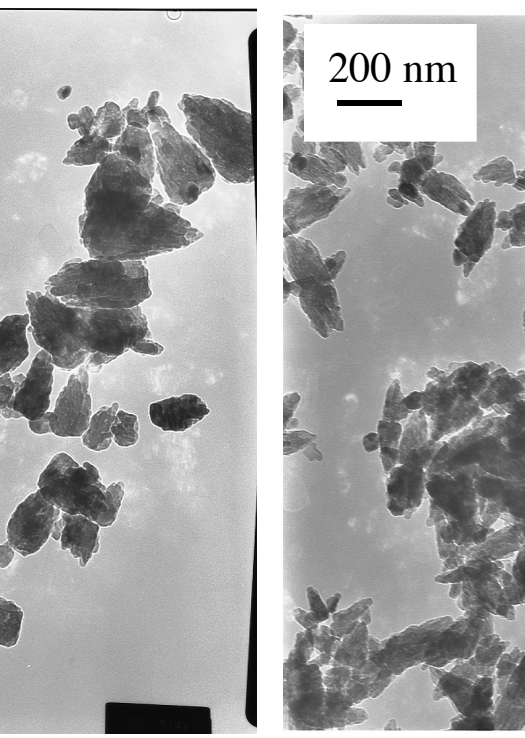
choix du pH dans le plateau de minimum de solubilité plateau sur plus de 3 unités de pH

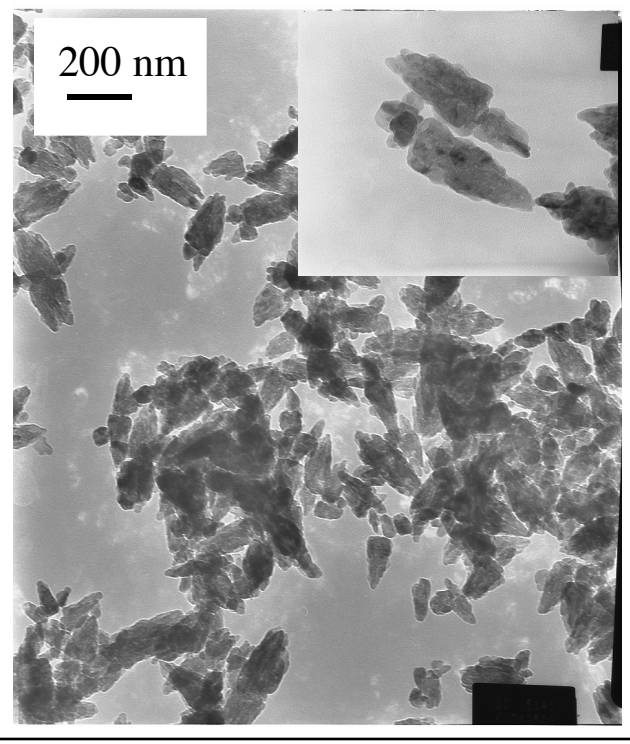
- -sursaturation
- -spéciation en solution
- -charge de surface des particules



### ZnO: Particules obtenues à 25°C, pH=10,5







eau distillée morphologie étoilée sous-unités visibles solution de sulfate de sodium:

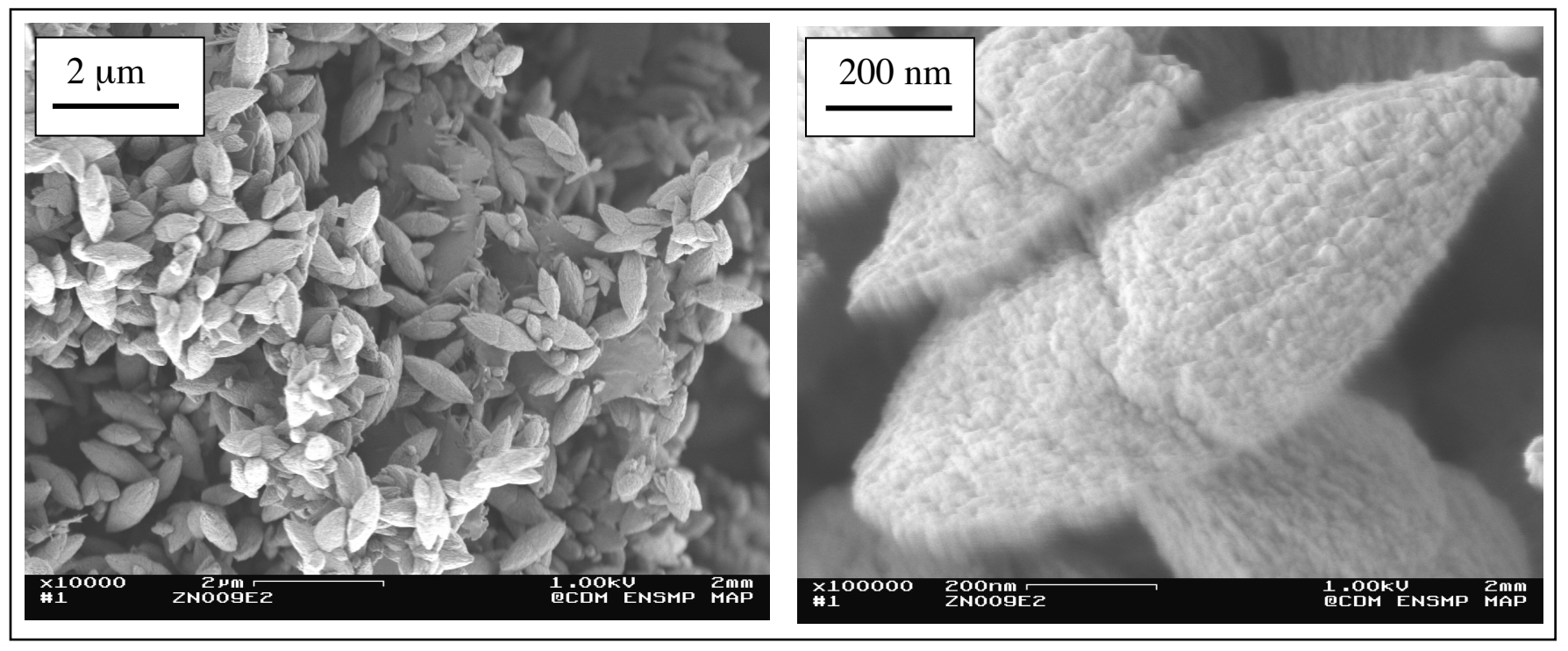
menhirs de 100nmx200nm à 200nmx450nm

solution de SDS: collage par la base de 50nmx100nm à 100nmx350nm



### ZnO: Effet de pH en double jet

Avec les mêmes conditions de précipitation (25°C), mais avec un léger changement de pH vers une zone d'un peu plus faible solubilité: **pH= 9.5** nous obtenons des ellipsoides/bicônes



la fissure centrale confirme le mécanisme par collage des bases. Les nanocristaux sont orientés dans les branches (selon la diffraction électronique), probablement par interaction dipolaire.



# cristallisation d'amorphe



### Précipitation d'un amorphe isolable suivie de cristallisation

#### Boehmite:

précipitation d'amorphe: continuité amorphe-boehmite selon T, pH cristallisation saut pH, T.

J.-F. Hochepied and P. Nortier, Powder Technology (2002) Vol.128, pp 268-275

Dioxyde de titane précipitation d'amorphe suivie de cristallisation hydrothermale

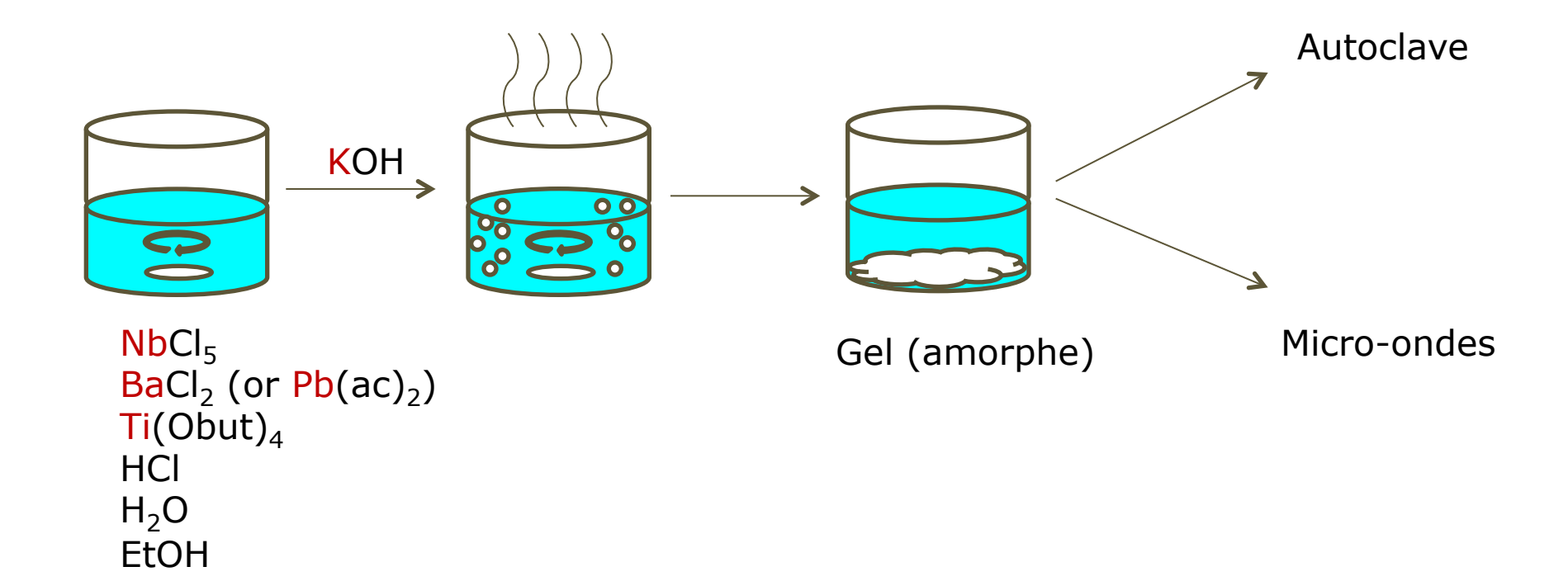
Malinger, K. A.; Maguer, A.; Thorel, A.; Gaunand, A.; Hochepied, J.-F., Chemical Engineering Journal 174 (2011), 445-451.

## Germanate d'hafnium thèse 1. Balencie

- J. Balencie, L. Levy and J.-F. Hochepied, Thin Solid Films 515 (2007) 6298-6301
- J. Balencie, L. Levy, J.-F. Hochepied; Mat. Chem. Phys. 112 (2008) 546-550

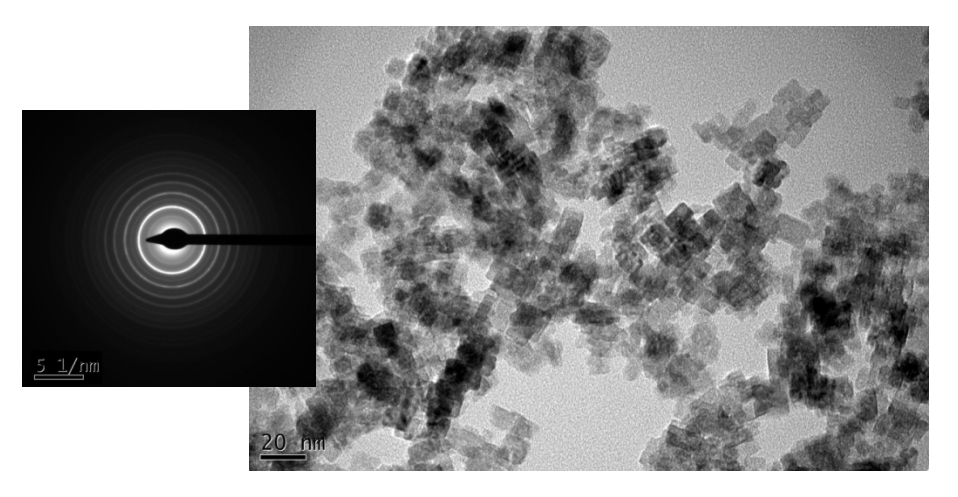


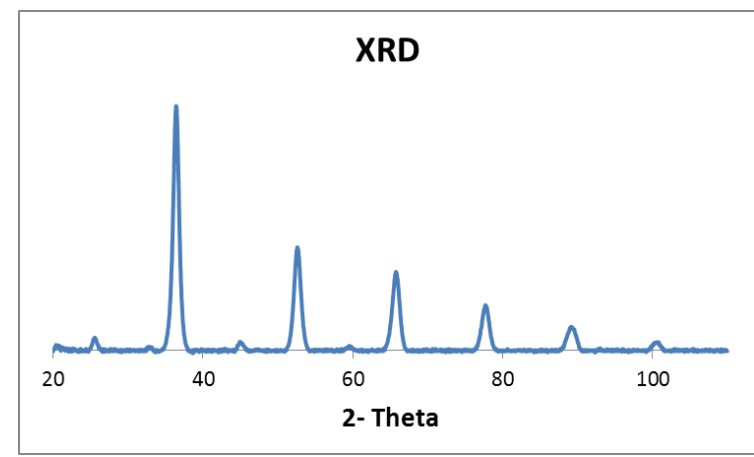
### Solution solide KNbO<sub>3</sub>-BaTiO<sub>3</sub>



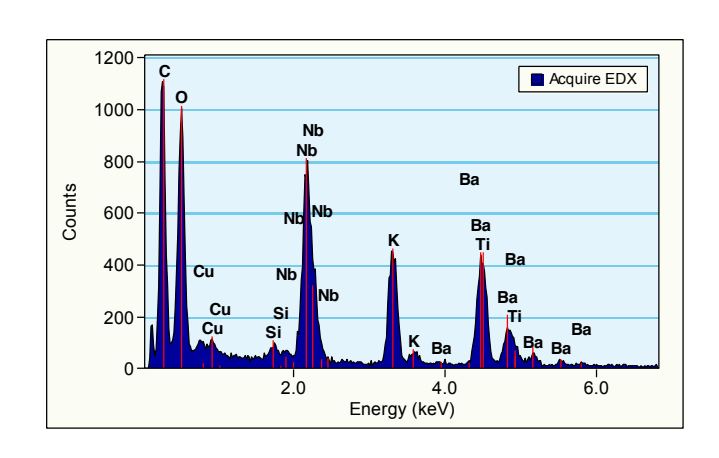


### Caractérisation KNBT





Nanoparticules KNBT phase perovskite et composition contrôlée

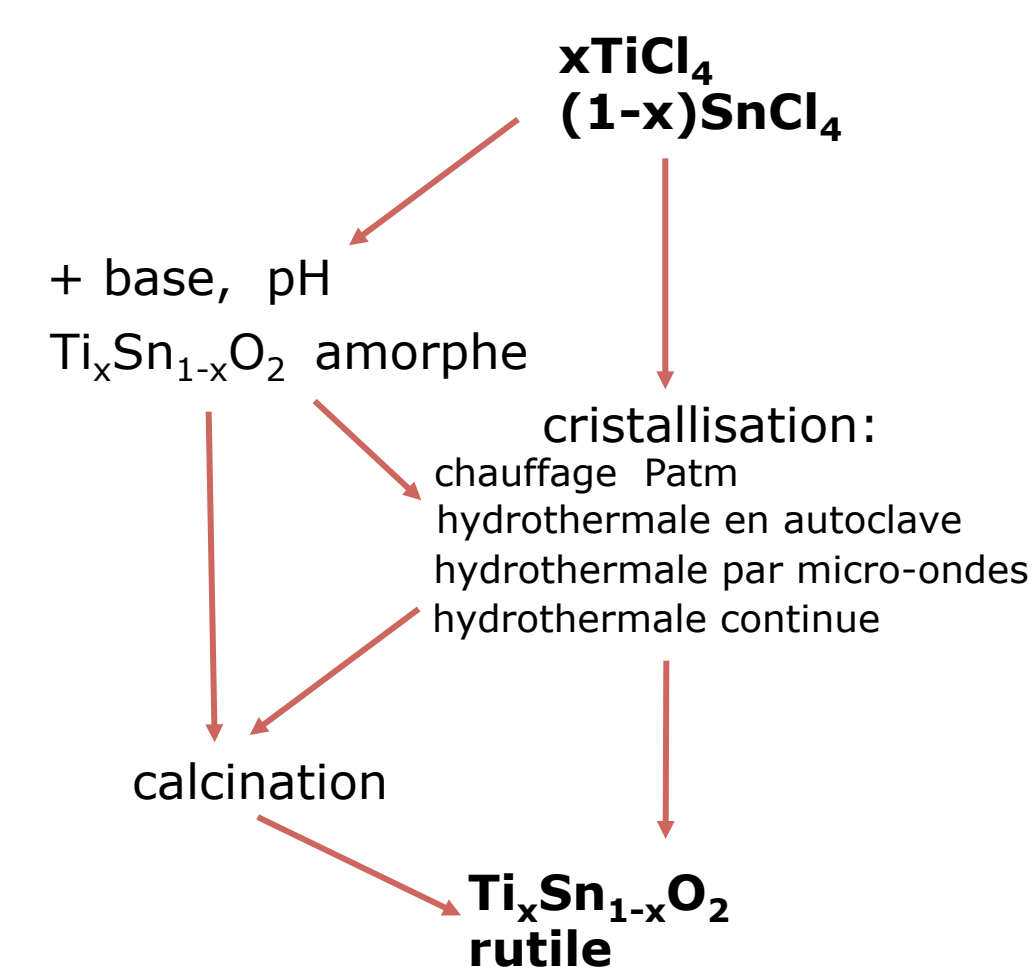


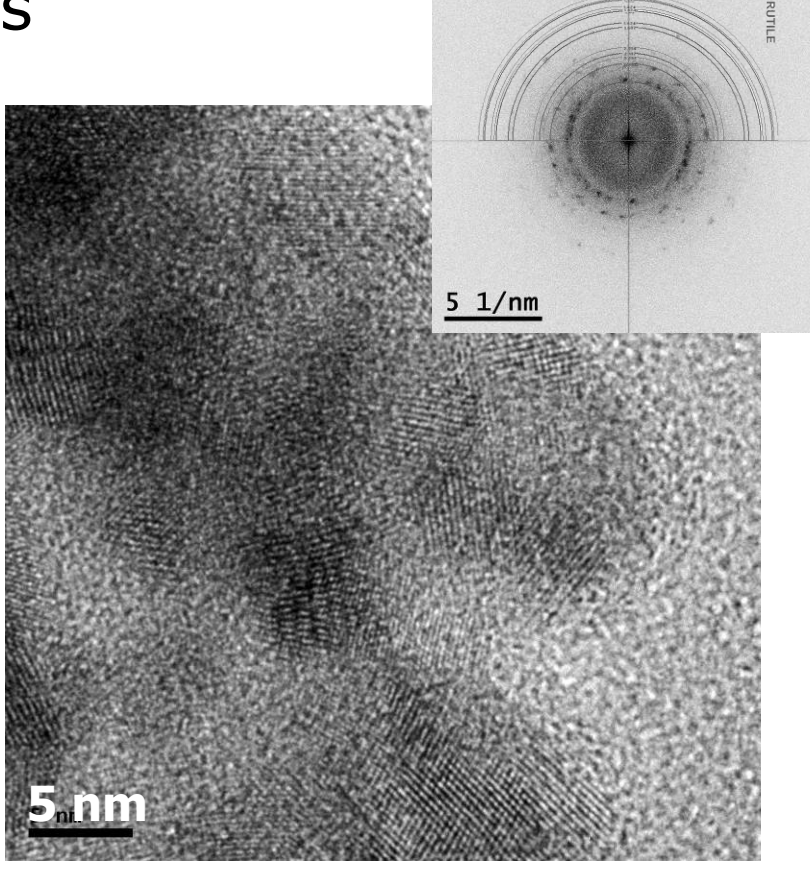


### coprécipitation Ti<sub>x</sub>Sn<sub>1-x</sub>O<sub>2</sub>

collaboration MH Berger, Mines ParisTech Centre des Matériaux





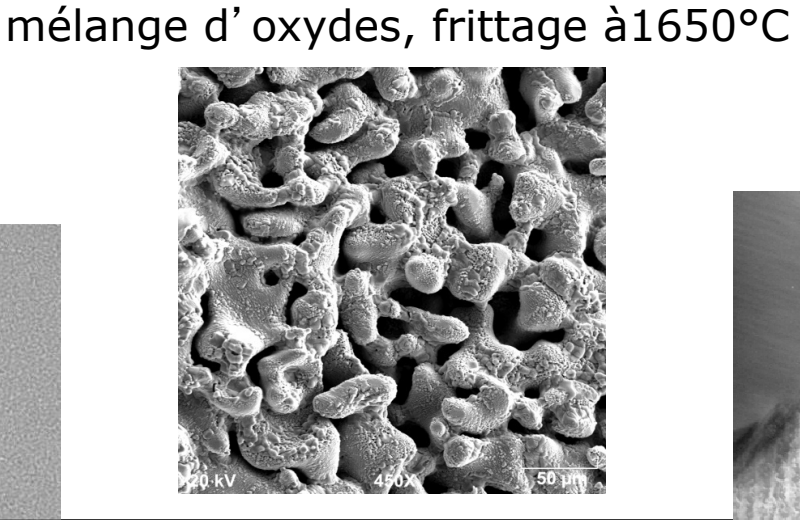


Calciné 500°C

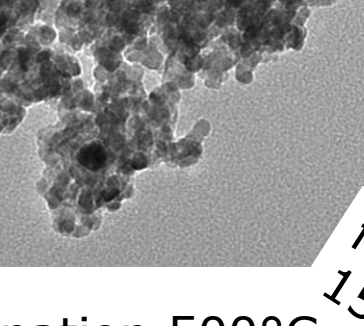


### précurseurs coprécipités pour post-traitements

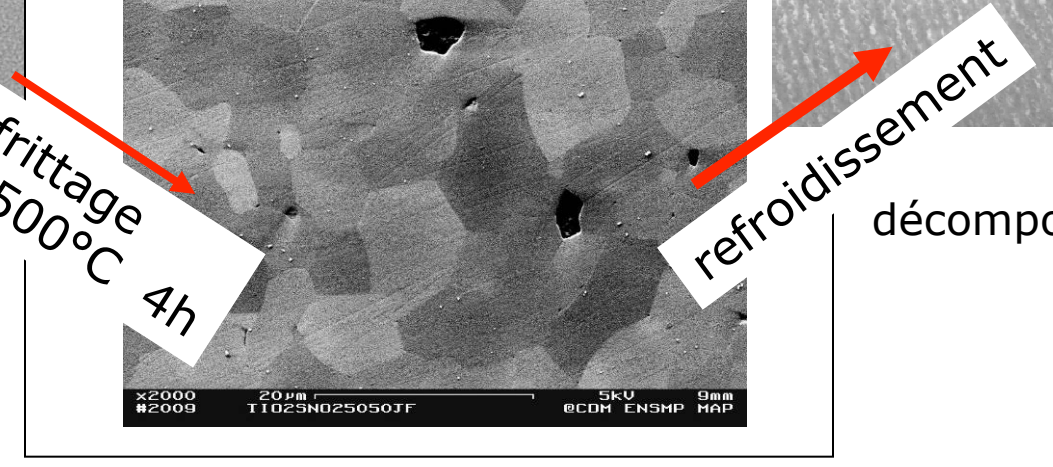
Ti<sub>0.5</sub>Sn<sub>0.5</sub>O<sub>2</sub> rutile



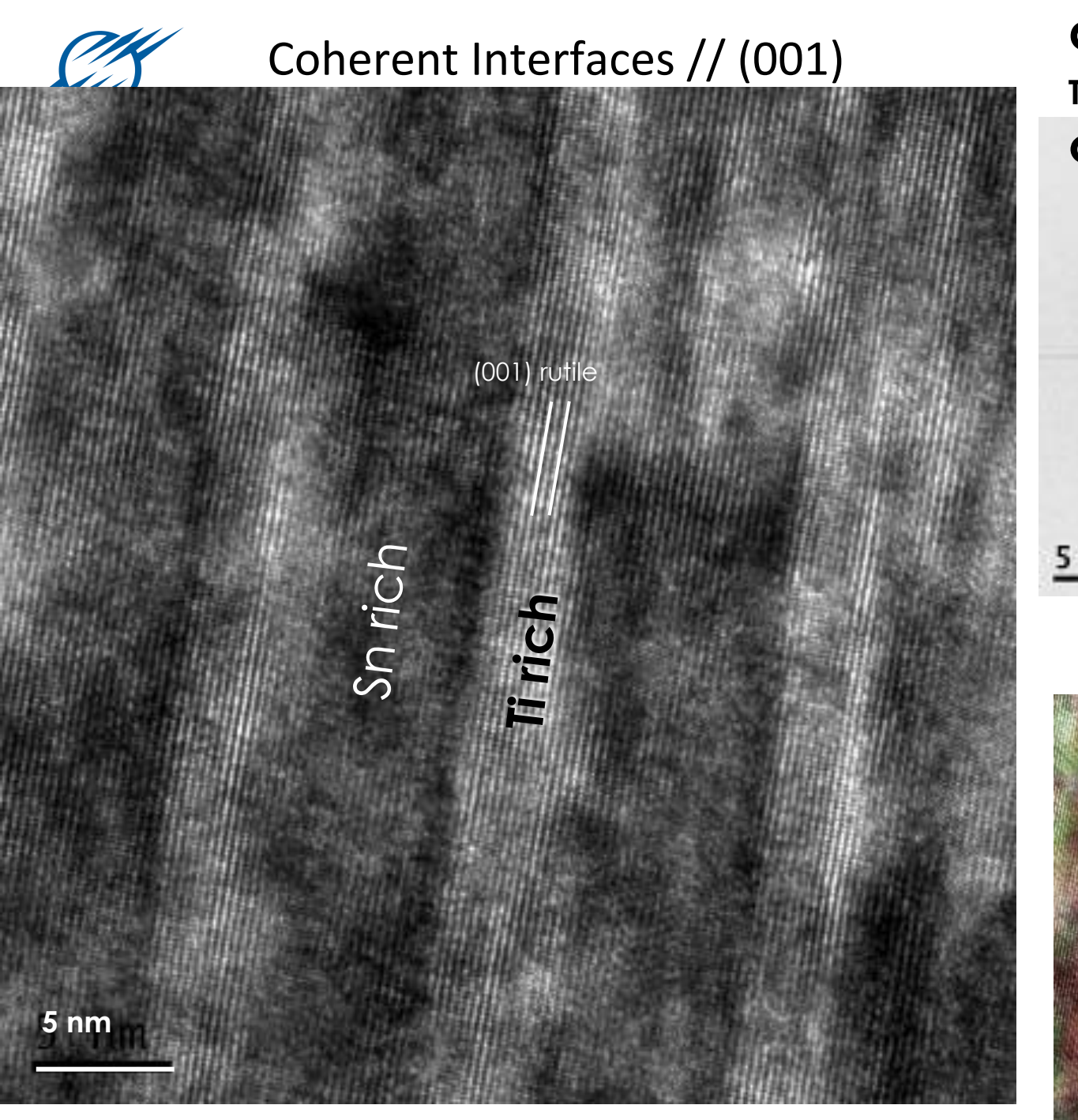
céramique dense



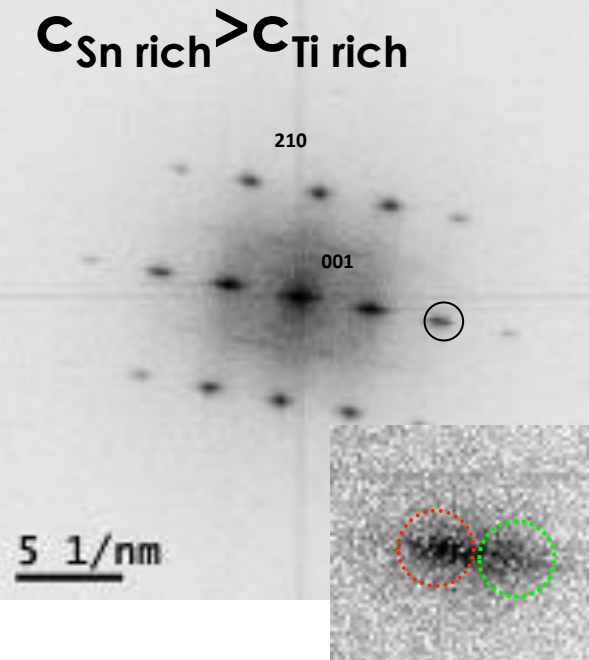
Calcination 500°C grains 8 nm



décomposition spinodale



 $a \& b_{Sn rich} = a \& b$ Ti rich







### conclusion sur les travaux présentés

contrôle de la réactivité (sursaturation,...) par le contrôle des conditions de

-précipitation (double jet)
-cristallisation d'amorphe (ou transformation polymorphique)
-précipitation homogène

contrôle morphologique de particules et objets multi-échelles

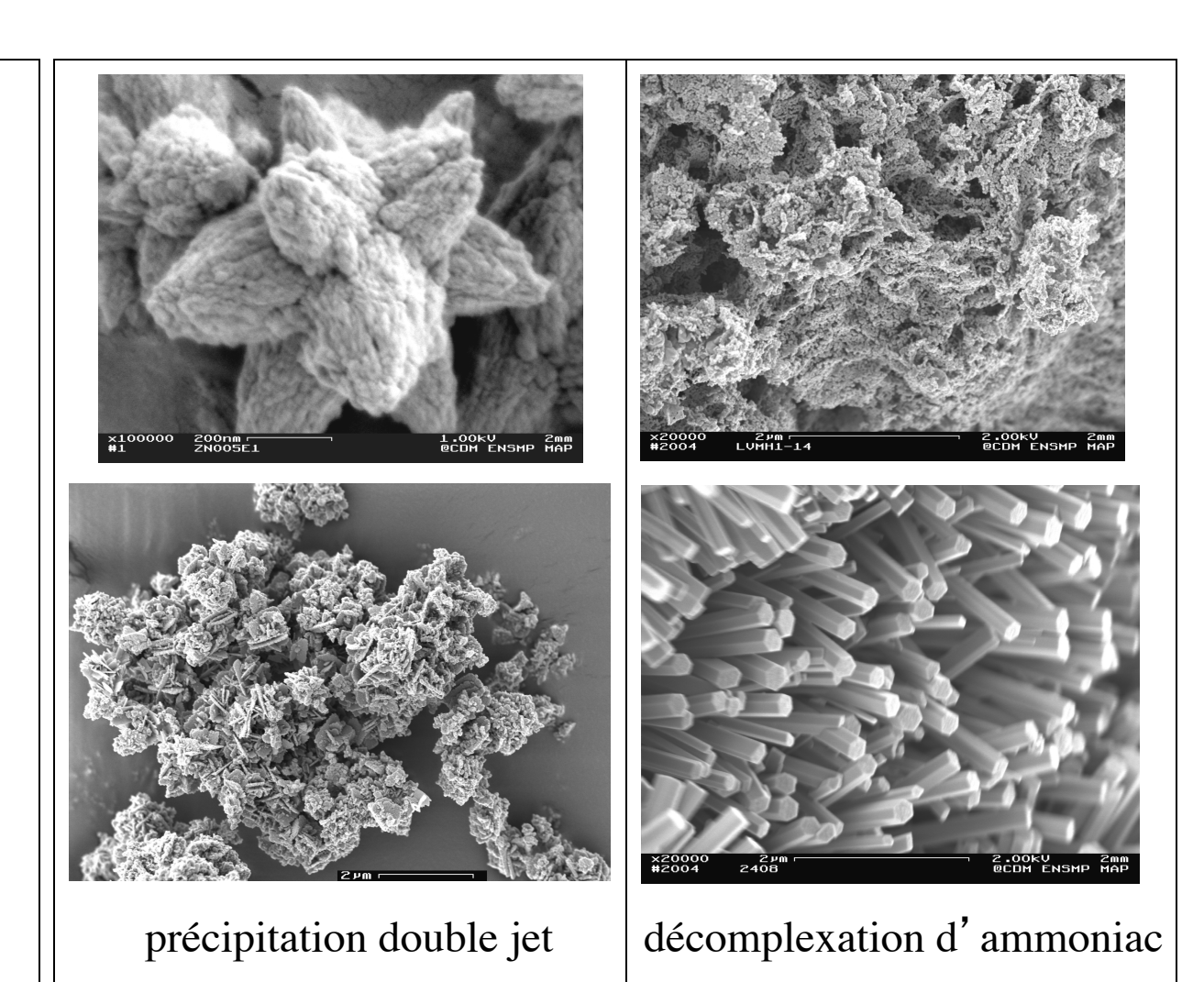


# Contrôle morphologique par le choix du procédé

Exemple: ZnO

Transitions
morphologiques
induites par des
variations de pH ou
concentration

Propriétés optiques différentes (absorption UV et fluorescence) Dispersabilité différente





### Perspectives scientifiques

#### **Procédés**

cristallisation d'amorphe, précipitation homogène

- réacteurs instrumentés et automatisés
- -comparaison méthodes de chauffage (voie hydrothermale): chauffage par paroi vs micro-ondes.
- -exploration de « templates »

#### **Matériaux**

- -composition complexe (dopages (TiO<sub>2</sub>...), mixtes (KN-PT, Sn<sub>x</sub>Ti<sub>(1-x)</sub>O<sub>2</sub>...)
- -objets multi-échelles

#### **Applications**

- -photocatalyse, batteries, thermoélectriques, piles à combustibles...
- -plus généralement: intérêt d'architectures multi-échelles pour ab- ou ad-sorber rayonnement ou molécules et transférer (charges...) dans le matériau ou la porosité